

ERSCHÜTTERUNGSTECHNISCHE UNTERSUCHUNG

BAUVORHABEN: Bad Vilbel, Plan Krebsschere

UMFANG: Ermittlung und Beurteilung der verkehrsinduzierten Immissionen

aus Erschütterungen und sekundärem Luftschall auf die geplanten Nutzungen im Plangebiet durch den Bahnbetrieb auf Basis der

messtechnisch erhobenen Emissionen

AUFTRAGGEBER Dietmar Bücher

Schlüsselfertiges Bauen

Veitmühlenweg 2 65510 Idstein

BEARBEITUNG: KREBS+KIEFER FRITZ AG

Hilpertstraße 20 | 64295 Darmstadt T 06151 885-383 | F 06151 885-220

AKTENZEICHEN: 20178243-VSE-1

DATUM: Darmstadt, 17.04.2018

778

Dipl.-Phys. Peter Fritz Vorstand

Dieser Bericht umfasst 24 Seiten und 6 Anhänge mit 31 Blättern.

Dieser Bericht ist nur für den Gebrauch des Auftraggebers im Zusammenhang mit dem oben genannten Planvorhaben bestimmt. Eine darüberhinausgehende Verwendung, vor allem durch Dritte, unterliegt dem Schutz des Urheberrechts gemäß UrhG.



Inhaltsverzeichnis

1	1 Zusammenfassung						
2	Sacl	hverhalt und Aufgabenstellung	6				
3	Bea	rbeitungsgrundlagen	7				
4	Anfo	orderungen an den Immissionsschutz	8				
	4.1	Erschütterungsschutz	8				
	4.2	Sekundärer Luftschall	9				
5	Arb	eitsgrundsätze und Vorgehensweise	10				
	5.1	Prognosemodell	10				
	5.2	Emissionen	11				
	5.3	Transmissionen	12				
	5.3.1		12				
	5.3.2	3 3	12				
	5.4	Immissionen	13				
	5.4.1 5.4.2	3	13 13				
	5.5	Betriebsparameter der Bahnstrecke	13				
6	Dur	chführung der Erschütterungsmessungen	14				
	6.1	Beschreibung der Emissionsbedingungen	14				
	6.2	Beschreibung der Messkette	15				
	6.3	Anordnung der Sensoren	17				
	6.4	Messdurchführung	17				
	6.5	Auswertung der Ausbreitungsbedingungen	18				
	6.6	Auswertung der Messungen	18				
7	Unte	ersuchungsergebnisse	19				
	7.1	Erschütterungsmessungen	19				
	7,1.1	l Ausbreitungsbedingungen	19				



7.1.2	Emissionen	20
7.2 F	Prognose der Immissionen	20
7.2.1	Erschütterungen	21
7.2.2	Sekundärer Luftschall	22
7.2.3	Maßnahmen	22
8 Absch	ließende Bemerkungen	23
Tabelle	enverzeichnis	
Tabelle 1:	Anhaltswerte A für die Beurteilung von Erschütterungen	8
Tabelle 2:	Immissionsrichtwerte für den sekundären Luftschall	10
Tabelle 3:	Zugbelegung Prognose 2025	14
Tabelle 4:	Komponenten des eingesetzten Messsystems	17
Tabelle 5:	Mittelwerte der gleisbezogenen Summenpegel L _v [dB]	20
Abbildu	ıngsverzeichnis	
Abbildung	1: Übertragung von Erschütterungen	11
Abbildung	2: Prinzipskizze der Messanordnung	16
Abbildung	3: Auswertung im Frequenzbereich	19

Anhänge

Anhang 1	Messprotokoll Erschütterungen
Anhang 2	Abnahmeexponente
Anhang 3	Emissionsspektren, Prognosespektren
Anhang 4	Übertragungsfunktionen
Anhang 5	Beurteilung der Immissionen WA-Gebiet
Anhang 6	Beurteilung der Immissionen MI-Gebiet

Projekt: B-Plan Krebsschere



Abkürzungsverzeichnis

A Anhaltswert

A_r Beurteilungsanhaltswert nach DIN 4150-2

Ao Oberer Anhaltswert nach DIN 4150-2

Au Unterer Anhaltswert nach DIN 4150-2

BauNVO Baunutzungsverordnung

BlmSchG Bundes-Immissionsschutzgesetz

BlmSchV Verordnung zum Bundes-Immissionsschutzgesetz

BVerwG Bundes-Verwaltungsgericht

dB Dezibel

f Frequenz [Hz]

fo Deckeneigenfrequenz [Hz]
FV Personenfernverkehr
GV Güterverkehr, Güterzug

KB_{Fmax} maximale bewertete Schwingstärke [-]

 KB_{FTr} Beurteilungsschwingstärke [-] L_{ri} Beurteilungspegels [dB(A)]

Lsek sek. Luftschallpegel des betrachteten Bauteils [dB(A)]

 L_v mittlerer A-bewerteter Körperschallschnellepegel des betrachteten Bauteils

[dB(A)]

L_{VA} A-bewerteter Körperschallschnellepegel in Fußbodenmitte [dB(A)]

MI Mischgebiet

N Anzahl von Zügen

NV Nahverkehr r. R Abstand

StAbw Standardabweichung
T Transferfunktion
Te Vorbeifahrtzeit

T_{ge} geometrische Vorbeifahrtzeit

v_{gem.} Gemessene Zuggeschwindigkeit [km/h]

v₀ Referenzwert für die Schwingschnelle [5 * 10-8 m/s]

Projekt: B-Plan Krebsschere



1 Zusammenfassung

Die erschütterungstechnische Untersuchung zum Bebauungsplan "Krebsschere" der Stadt Bad Vilbel haben zu folgenden Ergebnissen geführt:

- Die Erschütterungseinwirkungen aus dem Schienenverkehr auf der Strecke 3900 wurden auf dem zu überbauenden Grundstück auf Grundlage von Emissionsmessungen ermittelt. Anschließend wurden unter Zugrundelegung der aktuellen Messergebnisse und der typischen Gebäudeübertragungsfunktionen die Immissionen aus Erschütterungen und sekundärem Luftschall prognostiziert und gemäß den derzeitig gültigen Regelwerken beurteilt. Hierbei wurde der Prognose-Planfall 2025 betrachtet, d.h. mit dem Ausbau der Strecke 3684.
- Die schienenverkehrsinduzierten Immissionen, die zukünftig von der Strecke 3900 (Frankfurt am Main Kassel Hbf) und 3684 (Frankfurt am Main Friedberg) ausgehen, führen in Gebäuden, die innerhalb eines Korridors von

$r_{Tag/Nacht} < 26 / 45 m$

errichtet werden, zu bauwerksbezogenen Schwingstärken, die die Anhaltswerte der **DIN 4150-2** unter Berücksichtigung der angestrebten Flächennutzungen eines Wohngebietes (**WA**) sowohl im Tag- als auch im Nachtzeitraum überschreiten.

Sollte das Plangebiet als Mischgebiet ausgewiesen werden, verringert sich die Korridorbreite auf bis zu

$r_{Tag/Nacht}$ < 20 / 35 m.

Gebäudeseitige Maßnahmen zur Reduzierung der zu erwartenden Erschütterungsimmissionen sind somit für die innerhalb der genannten Korridore geplanten Gebäude erforderlich.

- Hinsichtlich des sekundären Luftschalls unterschreiten die prognostizierten Beurteilungspegel für alle untersuchten Deckeneigenfrequenzen die gültigen Immissionsrichtwerte gemäß der **24. BImSchV** sowohl am Tag als auch in der Nacht. Maßnahmen zur Reduzierung der sekundären Luftschallimmissionen werden somit ebenfalls **nicht** erforderlich.
- Der Abstand der Plangebietsgrenze zur nächstgelegenen befahrenen Gleisachse liegt etwa zwischen 12 m und 15 m. Soweit eine Bebauung innerhalb einer Korridorbreite von

Projekt: B-Plan Krebsschere



45 m geplant wird, sind zum Schutz von Personen in Gebäuden Vorkehrungen zur Reduzierung von schienenverkehrsinduzierten Schwingungsimmissionen erforderlich. Es wird daher empfohlen, zur Vermeidung erheblich belästigender Erschütterungseinwirkungen gebäudeseitige Maßnahmen vorzusehen.

Ferner wird empfohlen, die Prognosen im Vorfeld der Baugenehmigungsverfahren auf Basis konkretisierter Gebäudeplanungen erneut zu überprüfen und die erforderlichen Minderungsmaßnahmen auf diese Planungen abzustimmen.

2 Sachverhalt und Aufgabenstellung

Ein Areal in Bad Vilbel soll einer neuen städtebaulichen Nutzung zugeführt werden. Das Plangebiet liegt südlich der Nordumgehung (L 3008) und westlich der Bahnstrecke 3900 Frankfurt an Main – Friedberg.

Auf das Plangebiet wirken künftig Erschütterungsimmissionen durch die unmittelbar angrenzenden, in Nord-Süd-Richtung verlaufenden Bahnstrecken 3684 Frankfurt am Main – Friedberg, auf künftig der S-Bahnen verkehren sollen, und 3900 Frankfurt am Main – Kassel Hbf (Main-Weser-Bahnstrecke), die insbesondere nachts vom Güterverkehr genutzt wird. Dementsprechend ist im Rahmen der Planung zu klären, ob schienenverkehrsinduzierte Einwirkungen aus Erschütterungen oder aus sekundärem Luftschall zu erwarten sind, die als "erheblich belästigend" einzustufen sind.

Ausgangspunkt der diesbezüglich durchzuführenden erschütterungstechnischen Untersuchungen ist eine umfassende messtechnische Bestandsanalyse der relevanten Emissionen und Transmissionen. Hierbei sind insbesondere die Ausbreitungsbedingungen für Erschütterungen im Untergrund zu analysieren um auf Grundlage dieser Erkenntnisse Prognosen zu den zukünftig zu erwartenden Einwirkungen durchführen zu können. Zu diesem Zweck wurden Messungen der im Boden auftretenden verkehrsinduzierten Erschütterungen durchgeführt.

Basierend auf den Messergebnissen wird anschließend geprüft, ob mögliche erschütterungstechnische Konfliktpotentiale hinsichtlich der zukünftigen Immissionen aus Erschütterungen und sekundärem Luftschall für das geplante Gebäude zu erwarten sind und welche Maßnahmen gegebenenfalls zur Konfliktbewältigung bzw. zur Konfliktminimierung in Betracht zu ziehen sind.

Projekt: B-Plan Krebsschere



3 Bearbeitungsgrundlagen

Der durchgeführten erschütterungstechnischen Untersuchung liegen die folgenden Gesetze, Verordnungen, Richtlinien, Regelwerke, Schriftsätze und Planunterlagen zu Grunde:

- /1/ Gesetz zum Schutz vor schädlichen Umwelteinwirkungen durch Luftverunreinigung, Geräusche, Erschütterungen und ähnliche Vorgänge (Bundes-Immissionsschutzgesetz BImSchG) in der aktuell gültigen Fassung
- 16. Verordnung zur Durchführung des Bundes-Immissionsschutzgesetzes (Verkehrslärmschutzverordnung 16. BImSchV) vom 12. Juni 1990, geändert durch Art. 1 der Verordnung vom 18. Dezember 2014 (BGBI. I S. 2269)
- /3/ 24. Verordnung zur Durchführung des Bundes-Immissionsschutz-gesetzes (Verkehrswege-Schallschutzmaßnahmenverordnung 24. BImSchV) vom 04. Februar 1997 in ihrer berichtigten Fassung vom 16. Mai 1997
- /4/ DIN 4150, Teil 1 "Erschütterungen im Bauwesen: Vorermittlung von Schwingungsgrößen", Juni 2001
- /5/ DIN 4150, Teil 2 "Erschütterungen im Bauwesen: Einwirkungen auf Menschen in Gebäuden", Juni 1999
- /6/ DIN 45669 Teil 1, "Messung von Schwingungsimmissionen" Schwingungsmesser Anforderungen und Prüfungen, September 2010
- /7/ DIN 45669 Teil 2, "Messung von Schwingungsimmissionen "Messverfahren, Juni 2005
- /8/ DIN 45672 Teil 1, "Schwingungsmessungen in der Umgebung von Schienenverkehrswegen" Teil 1: Messverfahren vom Februar 2018
- /9/ DIN 45672 Teil 2, "Schwingungsmessungen in der Umgebung von Schienenverkehrswegen" Teil 2: Auswerteverfahren vom Juli 1995
- /10/ DB-Richtlinie 820.2050, Erschütterungen und sekundärer Luftschall, Stand vom 15.09.2017
- /11/ Stadt Bad Vilbel, 6. Änderung des Bebauungsplanes "Krebsschere", ROB Planergruppe, Maßstab 1:1000, Stand vom November 2017



4 Anforderungen an den Immissionsschutz

4.1 Erschütterungsschutz

Für die Beurteilung von Einwirkungen durch verkehrsinduzierte Erschütterungsimmissionen gibt es derzeit keine gesetzlichen Bestimmungen, in denen Grenzwerte festgelegt sind. Daher werden zur Bewertung von Erschütterungsimmissionen die in Fachkreisen als Beurteilungsgrundlage allgemein anerkannten **Anhaltswerte** nach **DIN 4150-2**/5/ herangezogen. Bei Einhaltung der hierin angegebenen Anhaltswerte kann davon ausgegangen werden, dass die Erschütterungen keine "erheblich belästigenden Einwirkungen", die als niedrigste Qualifikationsstufe schädlicher Umwelteinwirkungen im Sinne des Immissionsschutzrechtes /1/ anzusehen sind, darstellen.

Zeile	Einwirkungsort	ta	gs	nachts Au Ar 0,30 0,15 0,20 0,10 0,15 0,07 0,10 0,05 0,10 0,05	hts	
Zeite	Einwirkungsort	Au	Ar		Ar	
	Einwirkungsorte, in deren Umgebung nur gewerbliche Anla-				0,15 0,10 0,07	
1	gen und gegebenenfalls ausnahmsweise Wohnungen für In-	0,40	0,20	Au Ar 0 0,30 0,1 0 0,20 0,1 0 0,15 0,0 7 0,10 0,0	0.15	
'	haber und Leiter der Betriebe sowie für Aufsichtspersonal	-,			.,	
	und Bereitschaftspersonen untergebracht sind					
2	Einwirkungsorte, in deren Umgebung vorwiegend gewerbli-	0.20	0.15	0.20	0.10	
2	che Anlagen untergebracht sind	0,30 0,15 0,20 0, 0,20 0,10 0,15 0,	0,10			
	Einwirkungsorte, in deren Umgebung weder vorwiegend ge-					
3	werbliche Anlagen noch vorwiegend Wohnungen unterge-	0,20		0,07		
	bracht sind	0,20 0,10				
4	Einwirkungsorte, in deren Umgebung vorwiegend oder aus-	N 15	0.07	0.10	0.05	
"	schließlich Wohnungen untergebracht sind	0,15 0,07		0,10	0,00	
	Besonders schutzbedürftige Einwirkungsorte, z.B. in Kran-					
5	kenhäusern, Kurkliniken, soweit sie in dafür ausgewiesenen	0,10	0,05	0,10	0,05	
	Sondergebieten liegen					

Tabelle 1: Anhaltswerte A für die Beurteilung von Erschütterungen

Zur Bewertung der Erschütterungsimmissionen sind gemäß **DIN 4150-2** zwei Beurteilungsgrößen heranzuziehen:

die maximale zeit- und frequenzbewertete Schwingstärke KB _{Fmax} ,
die Beurteilungsschwingstärke KB _{FTr} .

Für die Beurteilung schienenverkehrsinduzierter Immissionen nennt die Norm zwei Kriterien. Der untere Anhaltswert **A**u ist ein Anhaltswert für den **KB**_{Fmax}-**Wert**. Ist **KB**_{Fmax} kleiner oder gleich

Projekt: B-Plan Krebsschere



dem unteren Anhaltswert **A**u, so sind die Anforderungen der Norm erfüllt, es gilt als nachgewiesen, dass die schienenverkehrsinduzierten Erschütterungsimmissionen **nicht** als **erheblich belästigend** einzustufen sind. Übersteigt **KB**_{Fmax} den unteren Anhaltswert **A**u, so ist die Beurteilungsschwingstärke **KB**_{FTr} zu bilden und mit dem Beurteilungsanhaltswert **A**r zu vergleichen.

Gegenwärtiges Bebauungsplanverfahren wird für das vorliegend zu untersuchende Gebiet /11/ Baurecht geschaffen. Da zum gegenwärtigen Zeitpunkt spätere Nutzung jedoch nicht feststeht, wird in der vorliegenden Untersuchung zwei unterschiedliche Fälle betrachtet. Es wird zunächst davon ausgegangen, dass das Areal als Allgemeines Wohngebiet (**WA**) ausgewiesen wird. Demgemäß sind für die in diesem Gebiet geplanten schutzbedürftigen Nutzungen die Anforderungswerte gemäß **Tabelle 1**, Zeile 4 heranzuziehen. Anschließend wird der Fall betrachtet, indem der Bereich als Mischgebiet (**MK**) ausgewiesen wird, so dass die Anforderungswerte gemäß **Tabelle 1**, Zeile 3 herangezogen werden.

4.2 Sekundärer Luftschall

Für Einwirkungen aus sekundären Luftschallimmissionen, hervorgerufen von schienengebundenen Verkehrssystemen, existieren derzeit weder vom Gesetzgeber noch in technischen Regelwerken verbindlich vorgegebene Anforderungswerte. Daher ist es erforderlich, sich für eine sachgerechte Beurteilung an andere Gesetzte, Verordnungen und Regelwerke auf Grundlage von Plausibilitätsbetrachtungen anzulehnen.

In Anlehnung an **24. BImSchV** /3/ werden hinsichtlich der Beurteilung des sekundären Luftschalls die aus den Korrektursummanden D abgeleiteten zulässigen Beurteilungspegel im Innenraum (= Korrektursummand D zuzüglich 3 dB(A)) als Beurteilungsmaßstab herangezogen. Hieraus ergeben sich die in **Tabelle 2** aufgeführten Immissionsrichtwerte zur Beurteilung von sekundärem Luftschall.

Unter Berücksichtigung dieses Sachverhaltes können die in **Tabelle 2** angegebenen Immissionsrichtwerte für eine Beurteilung des Innenschallpegels gemäß **24. BImSchV** abgeleitet werden. Für die geplanten Nutzungen erfolgt die Beurteilung der sekundären Luftschallimmissionen für den Tagzeitraum unter Zugrundelegung des Anforderungswertes für Wohnräume. Für den Nachtzeitraum wird der Anforderungswert für Räume herangezogen, die überwiegend zum Schlafen genutzt werden. Demzufolge gelten folgende Immissionsrichtwerte für Wohngebäude:

 \Box Tag: IRW = 40 dB(A),

 \square Nacht: IRW = 30 dB(A).

Projekt: B-Plan Krebsschere



Zeile	Raumnutzung	L _{ri,T}	L _{ri,N}				
		[dB(A)]	[dB(A)]				
1	Räume, die überwiegend zum Schlafen genutzt werden	-	30				
2	Wohnräume	40	-				
	Behandlungs- und Untersuchungsräume in Arztpraxen,						
3	Operationsräume, wissenschaftliche Arbeitsräume, Le-	40	-				
	seräume in Bibliotheken, Unterrichtsräume						
4	Konferenz- und Vortragsräume, Büroräume, allgemeine	45	_				
4	Laborräume	45	_				
	Großraumbüros, Schalterräume, Druckerräume von DV-						
5	Anlagen, soweit dort ständige Arbeitsplätze vorhanden	50	-				
	sind						
	Sonstige Räume, die zum nicht nur vorübergehenden Auf-	entsprechend der Schutz					
6	enthalt von Menschen bestimmt sind	bedürftigkeit der jeweiligen					
		Nutzung festzusetzen					
Lri,T	Beurteilungspegel innerhalb von Räumen für den Tag						
Lri,N	Beurteilungspegel innerhalb von Räumen für die Nacht						

Tabelle 2: Immissionsrichtwerte für den sekundären Luftschall

5 Arbeitsgrundsätze und Vorgehensweise

5.1 Prognosemodell

Bei der Prognose der Immissionen aus Erschütterungen und sekundärem Luftschall für schutzwürdige Räume eines Gebäudes wird von der in **Abbildung 1** skizzierten Übertragungskette ausgegangen.

Diese berücksichtigt neben den erschütterungstechnischen Quellstärken (Emissionen) und der Ausbreitung der Schwingungen im Untergrund (Transmission T1) das Schwingungsverhalten, der zu untersuchenden Gebäude (Gebäudeübertragungsfunktion ΔL_G). Die dargestellten Übertragungswege werden separat ermittelt und dann zu einer Gesamtübertragungsfunktion überlagert. Da die Übertragungsfunktionen zum Teil stark frequenzabhängig sind, ist für die Prognose ein Berechnungsverfahren anzuwenden, dass die spektrale Zusammensetzung sowohl der Schwingungsemissionen als auch der einzelnen Transferfunktionen berücksichtigt. Die spektrale Auflösung erfolgt hierbei in Form von Terzbändern im Bereich von 4 bis 315 Hz.



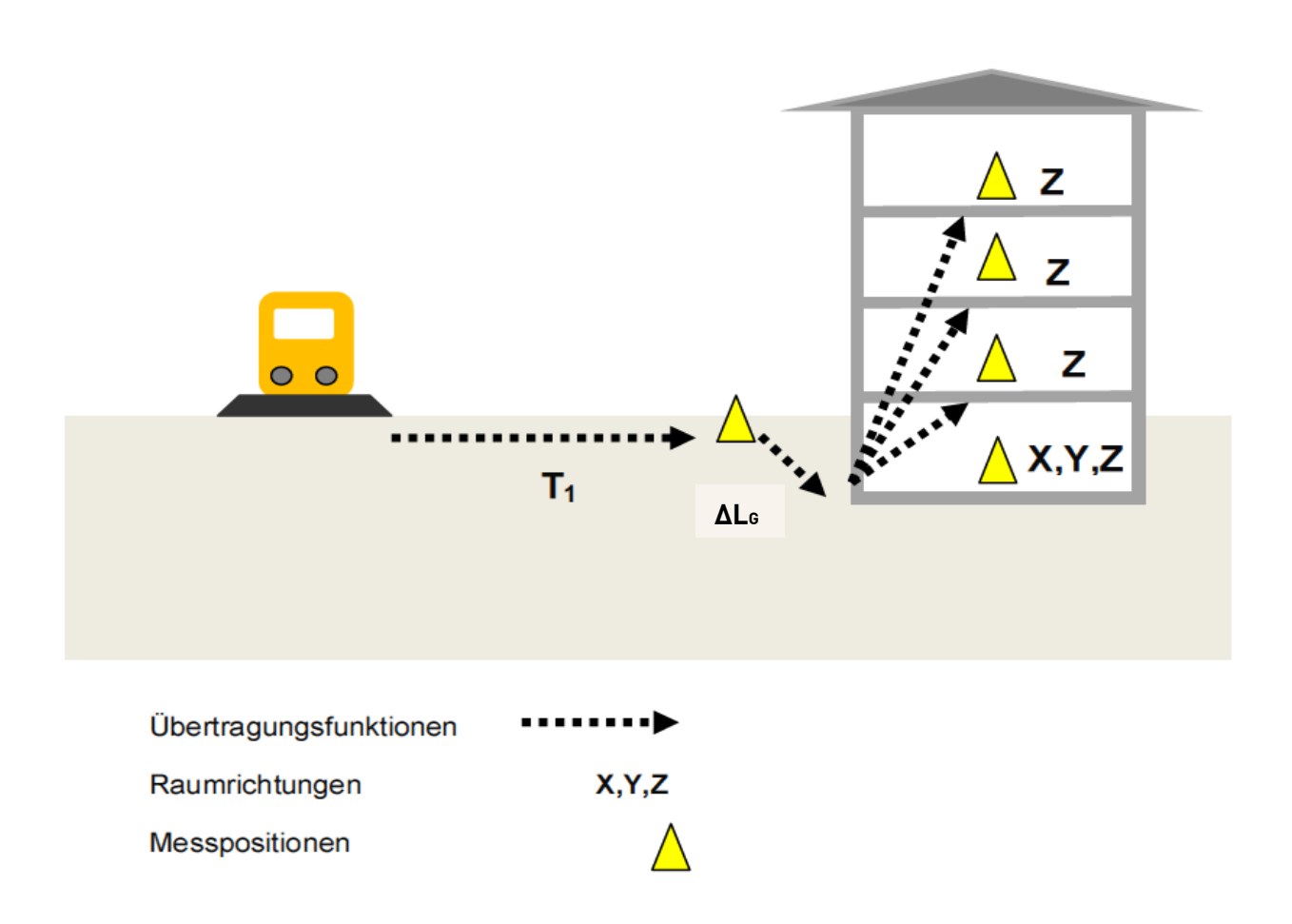


Abbildung 1: Übertragung von Erschütterungen

Die der Prognose zu Grunde gelegten Komponenten werden im Folgenden beschrieben.

5.2 Emissionen

Die angewandten Emissionsspektren werden mit Hilfe der durchgeführten Emissions- und Ausbreitungsmessungen gewonnen. Die Emissionsspektren beziehen sich allesamt auf den Referenzabstand von 8 m zur nächstgelegenen Gleisachse. Ferner beziehen sich die angegebenen Emissionen auf die von den einzelnen Zuggattungen im Bereich des hier behandelten Grundstückes gefahrenen Geschwindigkeiten. Die Emissionen ergeben sich aus der statistischen Auswertung aller unter Berücksichtigung der ermittelten Abnahmeexponenten auf den Referenzabstand zurückgerechneten Terzspektren für einzelne Zuggattungen. Die dargestellten Emissionsspektren sind also sowohl hinsichtlich der Schwankungen einzelner Zugereignisse einer Zuggattung als auch hinsichtlich der Schwankungen auf Grund der individuellen Bodenverhältnisse im Plangebiet gemittelt.

Projekt: B-Plan Krebsschere



5.3 Transmissionen

Der Übertragungsweg von schienenverkehrsinduzierten Schwingungen auf die für die Beurteilung relevanten Geschossdecken eines Gebäudes wird in einzelne Übertragungsfunktionen (Transferfunktionen) untergliedert:

5.3.1 Transferfunktion T₁

Zur Quantifizierung der Ausbreitungsbedingungen des Bodens wird anhand den in verschiedenen Abständen gemessenen Terzschnellespektren mit Hilfe einer Regressionsanalyse der spektrale Abnahmeexponent "**n**" bestimmt und die gemessenen Immissionen auf die Gebäudevorderkante unter Anwendung folgender Formel umgerechnet:

 $L_{v,R0}(f) = L_{v,R0} + 20*log(R_0/R_i)^{-n(f)}[dB]$

mit

Ro: Abstand des Messpunktes zur Gleisachse [m]

Ri: Abstand Gebäudevorderkante zur Gleisachse [m]

n: Abnahmeexponent [-]

L_v: Körperschallschnelle [dB]

5.3.2 Gebäudeübertragungsfunktion

Die Gebäudeübertragungsfunktion ΔL_G beschreibt das Übertragungsverhalten vom Erdreich vor dem Gebäude bis zur Geschossdecke. Für die Beurteilung der Erschütterungsimmissionen, im Hinblick auf die Störwirkung von Menschen beim Aufenthalt in Gebäuden, sind die Schwingungseinwirkungen in der Raummitte maßgebend. Die Übertragungsfunktion kennzeichnet im Wesentlichen das Resonanzverhalten einer Decke und weist neben starken spektralen Abhängigkeiten ausgeprägte Maxima im Bereich der Deckeneigenfrequenz auf. Sie ist in hohem Maße gebäudeabhängig und kann stark variieren. Ursache hierfür sind vor allem Spannweiten und Konstruktionsweise der Decken.

Die im Rahmen der vorliegenden Untersuchung zu Grunde gelegte Übertragungsfunktion basieren auf statistischen Auswertungen /10/ von Messungen, die im Einwirkungsbereich von Bahnstrecken durchgeführt wurden. Es wird davon ausgegangen, dass es sich bei den Deckenkonstruktionen des geplanten Gebäudes ausschließlich um Stahlbetondecken handelt. Die Berechnungen erfolgen für typische Geschossdeckenresonanzfrequenzen von Stahlbetondecken im Bereich zwischen 10 Hz und 80 Hz. Durch die getroffenen Annahmen wird die gesamte typische Bandbreite von Deckenspannweiten abgedeckt.

Projekt: B-Plan Krebsschere



5.4 Immissionen

5.4.1 Erschütterungen

Als Erschütterungsimmissionen werden die bauwerksbezogenen, gemäß **DIN 4150-2** /5/ in der Mitte von Räumen auftretenden KB-bewerteten Schwingstärken bezeichnet. Da hier die Vertikalkomponente (Z-Richtung) die Horizontalkomponenten (X-, Y-Richtung) übersteigt, werden die Abschätzungen ausschließlich für die Vertikalkomponenten der Erschütterungsimmissionen durchgeführt. Der relevante Frequenzbereich wird in der **DIN 4150-2** auf 80 Hz begrenzt.

5.4.2 Sekundärer Luftschall

Im vorliegenden Fall wurde zur Bestimmung des Beurteilungspegels für den sekundären Luftschall die Richtlinie 820.2050 der DB AG /10/ herangezogen. Die Berechnung des A-bewerteten sekundären Luftschallpegels erfolgt nach den Gesamtpegel-Korrelationsbeziehungen. Hierin wird ein linearer Zusammenhang zwischen dem A-bewerteten Schwinggeschwindigkeitspegel und dem sekundären Luftschallpegel genannt. Die Abhängigkeiten wurden dabei für verschiedene Deckenkonstruktionsformen (Stahlbetondecken, Holzbalkendecken) beschrieben. Demnach kann zur Ermittlung der Einwirkungen aus sekundärem Luftschall, hervorgerufen durch schienengebundenen Personen- und Güterverkehr, in erster Näherung folgende Beziehung herangezogen werden:

 $L_{sek,A} = 15,75 + 0,60 \cdot Lv,A$ [dB(A)] bei Stahlbetondecken $L_{sek,A} = 19,88 + 0,47 \cdot Lv,A$ [dB(A)] bei Holzbalkendecken,

mit

Lsek,A A-bewerteter sekundärer Luftschallpegel [dB(A)],

L_{v,A} A-bewerteter Gesamt-Schwinggeschwindigkeitspegel [dB(A)]

Der Auswertebereich wird bei der Einzahlmethode bis 100 Hz beschränkt, da erfahrungsgemäß oberhalb von 80 Hz keine pegelbestimmenden Anteile im Spektrum des sekundären Luftschallpegels vorhanden sind.

5.5 Betriebsparameter der Bahnstrecke

Für die Ermittlung der Beurteilungsschwingstärken ist die Kenntnis der Intensität von Schwingungsimmissionen sowie deren Einwirkdauer erforderlich. Die Intensität am Einwirkungsort wird maßgeblich durch die fahrzeugspezifische Emission sowie die gelände- und gebäudespezifische



Übertragung geprägt. Hinsichtlich der Erschütterungen ist bei der Ermittlung der Einwirkdauer das 30-Sekunden-Taktverfahren gemäß **DIN 4150-2** /5/ zu beachten.

Die vorliegende Prognose basiert auf dem Zugprogramm für den Prognose-Planfall, d. h. mit Ausbau der DB-Strecke 3684 für das Jahr 2025. Für die Berechnung werden im Tag- bzw. Nachtzeitraum folgende Zugzahlen berücksichtigt:

Strecke	Gleis	Zugart	An	zahl	7uglänge	V _{max} [km/h] 140 100 160 140 160 160	Te
Strecke	Gleis	Zugart	Tag	Nacht	Zuglänge	[km/h]	[s]
		NV	70	5	205	140	7,9
	1	GV	23	26	500	100	27,0
3900		FV	7	1	340	160	n/h] [s] 40 7,9 00 27,0 50 11,5 40 7,9 00 27,0 50 11,5 40 5,4
3700		NV	70	5	205	140	
	2	GV	16	26	500	100	27,0
		FV	7	1	340	160	(h) [s] 0 7,9 0 27,0 0 11,5 0 7,9 0 27,0 0 11,5 0 5,4
3684	3	S	59	9	140	140	5,4
	4	S	59	9	140	140	5,4

Tabelle 3: Zugbelegung Prognose 2025

Die Einwirkzeit des sekundären Luftschalls, jeweils bezogen auf den Beurteilungszeitraum Tag (06.00 bis 22.00 Uhr) bzw. Nacht (22.00 bis 06.00 Uhr), ergibt sich aus der Gesamtzahl der in dem betreffenden Streckenabschnitt innerhalb des Beurteilungszeitraumes verkehrenden Schienenfahrzeuge und deren geschwindigkeitsabhängiger Vorbeifahrtzeit. Um zu berücksichtigen, dass Fahrzeuge bereits vor und auch nach der Vorbeifahrt wahrgenommen werden können, wird bei der Bestimmung der signifikanten Einwirkungszeit einer Zugvorbeifahrt mit der 1,5-fachen geometrischen Vorbeifahrtzeit berücksichtigt

$$T_e = 1.5 \cdot Zuglänge \cdot 3.6 / v_{max}$$

mit

v_{max} maximale Streckengeschwindigkeit bzw. zugspezifische Höchstgeschwindigkeit [km/h]

6 Durchführung der Erschütterungsmessungen

6.1 Beschreibung der Emissionsbedingungen

Das Plangebiet "Krebsschere" befindet sich nördlich vom Bahnhof Bad Vilbel. Die Bahnstrecke 3900 Frankfurt am Main – Kassel Hbf grenzt östlich an das Areal. Im nördlichen Bereich des

Projekt: B-Plan Krebsschere



Plangebietes "Krebsschere" verläuft die Bahnstrecke viergleisig. Im südlichen Bereich besteht die Strecke bereits aus 11 Gleisen, von denen einige nicht befahren bzw. nur als Abstellgleise genutzt werden. Entsprechend gibt es im Querschnittsbereich des Plangebietes mehrere Weichen im Streckenverlauf.

Das erste Gleis, das im nördlichen Querschnittsbereich von der Hauptstrecke 3900 abzweigt, wurde im Beobachtungszeitraum nicht befahren. Die meisten Züge fuhren auf den nächstgelegenen Gleisen 2 und 3. Auf Gleis 4 wurden 5 Vorbeifahrten von Nahverkehrszügen messtechnisch registriert.

Der kleinste Abstand zur nächstgelegenen, befahrenen Gleisachse beträgt im nördlichen Bereich des Plangebietes etwa

r = 12 m.

Im südlichen Bereich vergrößert sich der Abstand auf etwa

 $r = 15 \, m.$

Die Gleisanlage mit dem Geltungsbereich des Bebauungsplanes ist im Übersichtslageplan in **Anhang 1.1** dargestellt. Ferner sind für die 10 Messpositionen die Abstände zu den Gleisen in **Anhang 1.2** angegeben.

6.2 Beschreibung der Messkette

Die Durchführung der Erschütterungsmessungen erfolgte mit einer Messanlage, die der Genauigkeitsklasse 1 gemäß **DIN 45669-1**/6/ entspricht. Die Komponenten der Messanlage sind in der Prinzipskizze in **Abbildung 2** dargestellt.

Die einzelnen Kanäle der 12-kanaligen Messanlage wurden letztmalig im März 2017 im Labor mit einem rückführbar kalibrierten Referenzaufnehmer im Kopf an Kopf Verfahren für den relevanten Frequenzbereich kalibriert. Vor der Durchführung der Messungen wurde die Funktionsfähigkeit der Messgeräte durch kurze Stoßanregungen an den Sensoren auf ihre Funktionsfähigkeit überprüft. Die in der Messkette eingesetzten Komponenten sind in **Tabelle 4** aufgeführt.



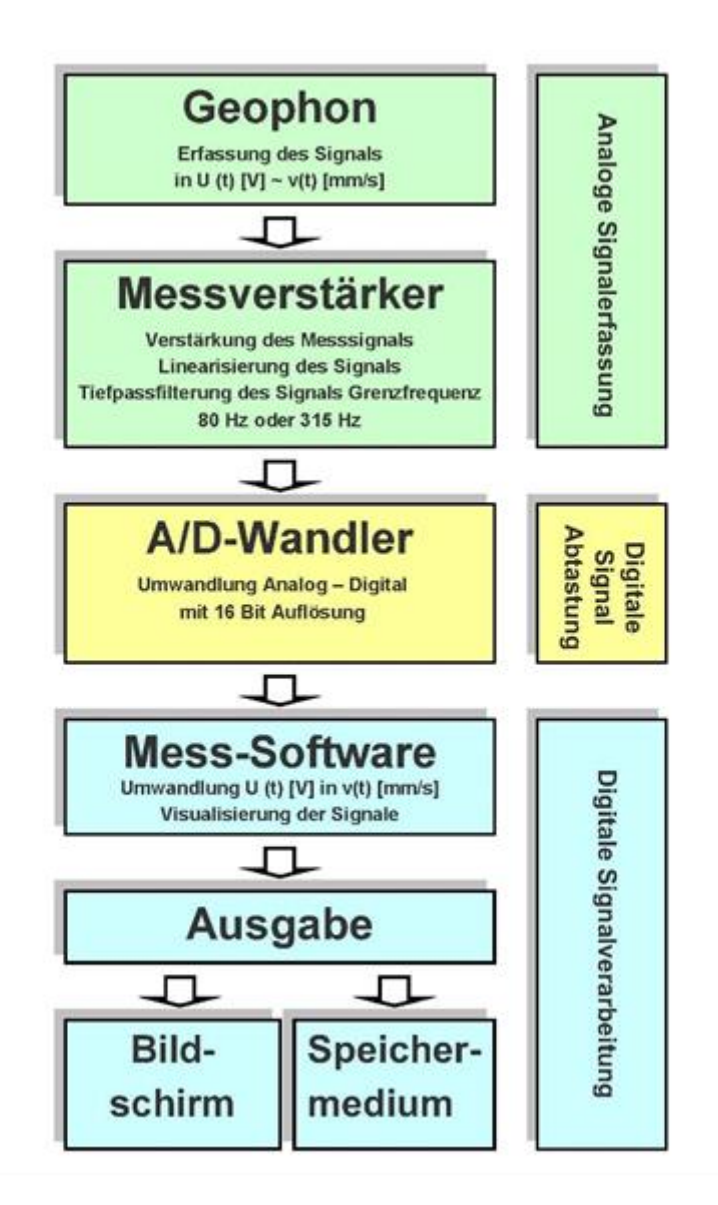


Abbildung 2: Prinzipskizze der Messanordnung

Die Abtastung der analogen Messsignale erfolgte mit einer Abtastrate von

 $f_s = 1024 \, Hz$

Somit bietet die Abtastung die Möglichkeit die Signale bis zu einer Frequenz von 400 Hz spektral auszuwerten. Im Rahmen der Auswertung der Signale erfolgt anschließend eine Bandbegrenzung auf

f = 4 ... 315 Hz

durch eine entsprechende digitale Bandpassfilterung.

Projekt: B-Plan Krebsschere



GEOPHONE:	elektrodynam. Absolutschwingungsaufnehmer
Hersteller:	Western Data Systems
Kennfrequenz:	4,5 ± 0,5 Hz für alle 3 Komponenten
Empfindlichkeit:	0,29 ± 5% V/cm/s für alle 3 Komponenten
MESSVERSTÄRKER:	SMK-4812; 12 Kanäle
Hersteller:	Dr. Kebe Scientific Instruments GmbH
Frequenzbereich:	1 315 Hz
Meßbereich:	Schwinggeschwindigkeit 0,1 500 mm/s
Nachweisgrenze:	mindestens 0,001 mm/s (gem. DIN 45669)
Genauigkeitsklasse:	DIN 45669-1 im genannten Frequenzbereich
LAPT0P	
Hersteller:	Samsung
CPU:	Intel Pentium M 2,0 GHz
A/D-WANDLER	DAQ-Card 6036-E , 16 Kanäle
Hersteller:	National Instruments
Auflösung:	16 Bit
SOFTWARE:	MEDA-AD
Hersteller:	Wölfel Messsysteme Software GmbH + Co. KG
Version:	2018-1

Tabelle 4: Komponenten des eingesetzten Messsystems

6.3 Anordnung der Sensoren

Insgesamt wurden im Plangebiet 10 Messsensoren an den Boden gekoppelt, um die auftretenden schienenverkehrsinduzierten Schwingungen messtechnisch zu erfassen. Die Ankopplung der Sensoren erfolgt auf Erdspießen gemäß **DIN 45669-2**/7/. Die Erdspieße weisen einen x-förmigen Querschnitt und in dem hier relevanten Frequenzbereich im Boden keine Eigenschwingungen auf. Um Kontaktresonanzen zu vermeiden, werden die Sensoren mittels Gewinden, die mit Spannringen gesichert werden, an den Pflöcken befestigt.

Die Anordnung der Sensoren sowie die Ankopplungsbedingungen der Sensoren an den Messpositionen sind in **Anhang 1.1** dargestellt. Eine Fotodokumentation der Messpositionen sowie Angaben zu den verwendeten Sensoren findet sich in **Anhang 1.3** und **Anhang 1.4**.

6.4 Messdurchführung

Die Durchführung der Messungen im Plangebiet erfolgte an insgesamt 10 Messpositionen. Die Messungen wurden am 16.01.2018 zwischen 10:00 Uhr und 14:30 Uhr gemäß den Vorgaben der

Projekt: B-Plan Krebsschere



DIN 45672-1 /8/ durchgeführt. Bei durchgefahrenen Zügen erfolgte die Registrierung der Signale v(t) an allen Messpositionen zeitgleich. Die Signale wurden für jedes Ereignis unmittelbar nach Durchführung der Messung auf dem Bildschirm des Messrechners angezeigt und auf Plausibilität geprüft. Soweit Störungen festgestellt wurden, wurde die jeweilige Messung verworfen. Sofern Übersteuerung oder Untersteuerung für einzelne Kanäle auftraten, wurden die Messungen verworfen, die Aussteuerung angepasst und eine erneute Messung durchgeführt. Des Weiteren wurden das befahrene Gleis und der jeweilige Zugtyp protokolliert. Die Signale wurden dann im Labor gemäß **DIN 45672-2** /9/ ausgewertet.

Ferner wurde mit einer Radarpistole die Geschwindigkeit der vorbeifahrenden Fahrzeuge gemessen. Die einzelnen Vorbeifahrtsereignisse und die gemessenen Geschwindigkeiten sind in **Anhang 1.5** bis **Anhang 1.6** dokumentiert. Die gemittelten Geschwindigkeiten sowie die Anzahl der erfassten Zugvorbeifahrten, differenziert nach Gleis und Zugtyp, sind in **Anhang 1.7** zusammengefasst.

6.5 Auswertung der Ausbreitungsbedingungen

Für die Ermittlung der Ausbreitungsbedingungen werden auf Basis der Messwerte an den einzelnen Messpositionen Regressionsanalysen durchgeführt. Es wird für jede Terzmittenfrequenz die Abnahme der Schwinggeschwindigkeit in Abhängigkeit vom Abstand mit der nachfolgenden Gleichung bestimmt:

log KBFTi = const - n • log r

Hierbei bedeuten:

r Abstand zur Gleisanlage

const Achsenabschnitt

n Steigung der Regressionsgeraden

Durch die Vielzahl an einzelnen Messwerten und Abständen erhält man dann eine frequenzabhängige exponentielle Abnahmebeziehung mit einer hinreichenden statistischen Sicherheit.

6.6 Auswertung der Messungen

Zur Ermittlung der Schwingungsanregung im Erdreich erfolgt die Auswertung der Schwingschnelle v(t) im Frequenzbereich gemäß **DIN 45672-2** /9/. Die Systematik nach **DIN 45572-2** ist in **Abbildung 6** dargestellt.

Projekt: B-Plan Krebsschere



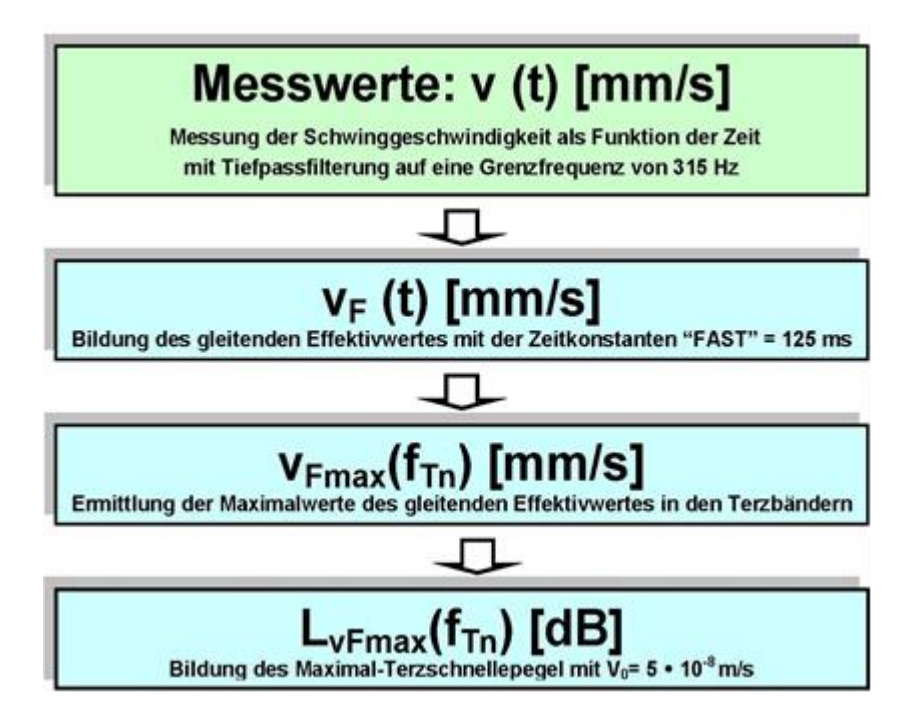


Abbildung 3: Auswertung im Frequenzbereich

Die Auswertung im Frequenzbereich erfolgt mit Hilfe von Terzanalysen. Hierbei wird der gleitende Effektivwert in Terzbändern mit einer konstanten relativen Breite von 23 % gebildet. Mit Hilfe der Terzanalyse wird das Spektrum L_{VFmax} (f_{Tn}) des Maximal-Terzschnellepegels nach der folgenden Gleichung für jede Sensorposition und jedes Zugereignis ermittelt:

$$L_{vFmax}(f_{Tn}) = 20 \cdot lg (v_{Fmax}(f_{Tn})/v_0)$$

mit Bezugswert $v_0 = 5 \cdot 10^{-8}$ m/s.

7 Untersuchungsergebnisse

7.1 Erschütterungsmessungen

Die Messpositionen sind im Übersichtslageplan in **Anhang 1.1** dargestellt. Weiterhin sind die Abstände zu den Gleisen in **Anhang 1.2** dokumentiert. Eine Fotodokumentation der Messpositionen sowie Angaben zu den verwendeten Sensoren finden sich in **Anhang 1.3** bis **Anhang 1.4**. Die einzelnen Vorbeifahrten mit den gemessenen Geschwindigkeiten sind im **Anhang 1.5** bis **Anhang 1.6** dokumentiert. Die gemittelten Geschwindigkeiten und die Anzahl der erfassten Zugvorbeifahrten, differenziert nach Gleis und Zuggattung, sind im **Anhang 1.7** zusammengefasst.

7.1.1 Ausbreitungsbedingungen

Die Abnahme der Schwinggeschwindigkeit bei der Ausbreitung im Boden in Abhängigkeit vom



Abstand wird für jede Terzmittenfrequenz graphisch als Regressionsgerade in **Anhang 2** dokumentiert. In jedem Graphen sind die Messwerte als rote Quadrate und die Regressionsgerade blau gekennzeichnet. Die graphische Darstellung erfolgt hierbei doppelt logarithmisch. Eine Zusammenfassung der frequenzabhängigen exponentiellen Abnahmebeziehung findet sich dann in **Anhang 2.3** in Tabellenform als Exponent für jede Terzmittenfrequenz.

7.1.2 Emissionen

Die Ergebnisse der Emissionsermittlung sind in **Anhang 3** graphisch und tabellarisch dargestellt. Hierbei werden die auf den Referenzabstand von 8 m normierten Spektren im Frequenzbereich von 4 Hz bis 315 Hz als Mittelwert für jede Zuggattung und gleisweise angegeben. Zusätzlich werden jeweils die Anzahl der erfassten Zugereignisse, die mittlere Geschwindigkeit der Fahrzeuge und die mittleren Summenpegel angegeben. In **Anhang 3.4** finden sich die über Gleise gemittelten Emissionsspektren.

In der nachfolgenden **Tabelle 4** sind die gemittelten Summenpegel für jede Zuggattung differenziert nach Gleis zusammengefasst.

Zugart	Gleis 2	Gleis 3	Gleis 4	V, [km/h]	Mittelwert
NV	75,5	76,5	75,9	62	75,9
GV	81,7	82,0	-	51	81,8
FV	76,1	79,0	-	79	77,6
S	72,8	74,8	-	67	73,8

Tabelle 5: Mittelwerte der gleisbezogenen Summenpegel L_v [dB]

Die mittleren Emissionen der jeweiligen Zuggattungen werden anhand der an der Strecke messtechnisch ermittelten Korrekturfunktionen, die in **Anhang 3.5** bis **Anhang 3.7** dargestellt sind, auf die maximalen Streckengeschwindigkeiten umgerechnet. Die umgerechneten Emissionen sind in **Anhang 3.8** bis **Anhang 3.11** tabellarisch dargestellt. Diese Emissionen werden der Beurteilung der zukünftigen Erschütterungseinwirkungen zu Grunde gelegt.

7.2 Prognose der Immissionen

In den so genannten "Einwirkungsmatrizen" werden die Beurteilungsschwingstärken KB_{FTr}, die zur besseren Übersichtlichkeit mit einem Faktor 100 multipliziert wurden, und die Beurteilungspegel L_r für den Tagzeitraum in Abhängigkeit vom Abstand r und der Deckeneigenfrequenz fo eines schutzbedürftigen Raumes dargestellt. Diese ermöglichen es, die Einhaltung der Anforderungen nach DIN 4150-2 bzw. nach 24. BImSchV an Gebäuden allgemein in Abhängigkeit des Abstandes zur nächstgelegenen Gleisachse und der entsprechenden Gebietseinstufung zu überprüfen. Hierbei werden die messtechnisch ermittelten Emissionen sowie die T₁- Funktionen zu

Projekt: B-Plan Krebsschere



Grunde gelegt. Für die Transferfunktionen werden die in der Richtlinie /10/ angegebenen Übertragungsfunktion berücksichtigt (**Anhang 4**). Die Prognoseberechnungen erfolgen für sämtliche Terzmittenfrequenzen im Bereich von

$$f_0 = 10 ... 80 Hz.$$

Hiermit sind die typischen Eigenfrequenzen von Geschossdecken in diesem Frequenzband repräsentiert. Ferner werden die Berechnungen für Abstände zum nächstgelegenen Gleis für die folgenden Abstände durchgeführt:

Der Abstand **r** bezieht sich hierbei auf das nächstgelegene Gleis.

Grün hinterlegte Felder bedeuten, dass die jeweils gültigen Anforderungen an den Immissionsschutz erfüllt werden. **Gelb** kennzeichnet eine Unterschreitung der **A**r-Werte bei einer Ausschöpfung von mehr als 2/3 des Anhaltswertes. Bei **rot** hinterlegten Feldern sind die Anforderungen nicht erfüllt.

7.2.1 Erschütterungen

Unter Berücksichtigung der gemessenen Erschütterungsemissionen und der angenommenen typischen Übertragungsbedingungen ergeben sich Beurteilungsschwingstärken im Tag- bzw. Nachtzeitraum, die in **Anhang 5.1** bis **Anhang 6.2** dargestellt sind.

Für die typischen Deckeneigenfrequenzen von 20 Hz bis 40 Hz ergeben sich Korridorbreiten, innerhalb derer ein Erschütterungskonflikt für schutzbedürftige Nutzungen in Allgemeinem Wohngebiet (**Anhang 5.1** bis **Anhang 5.2**) nicht ausgeschlossen werden kann, von

$$r_{Tag/Nacht} < 26 / 45 m$$
.

Dies bedeutet, dass für geplante Gebäude, die einen Abstand zu Gleis 1 von maximal

aufweisen, die prognostizierten Beurteilungsschwingstärken für die typischen Deckeneigenfrequenzen von 20 Hz bis 40 Hz die Anhaltswerte für Allgemeine Wohngebiete von

$$A_r = 0,070 / 0,050$$

überschreiten.

Im Falle einer Neuordnung des Plangebiets als Mischgebiet (**Anhang 6.1** bis **Anhang 6.2**) belaufen sich die ermittelten Korridorbreiten auf bis zu

Projekt: B-Plan Krebsschere



$r_{Tag/Nacht} < 20 / 35 m$.

im Tag- bzw. im Nachtzeitraum. Für das Mischgebiet ergibt sich also eine konfliktfreie Korridorbreite von

r≥35 m.

Demzufolge können innerhalb der festgestellten Korridorbreiten die Anforderungen nach Maßgabe der DIN 4150-2 **nicht** erfüllt werden.

7.2.2 Sekundärer Luftschall

In **Anhang 5.3** bis **Anhang 5.4** und **Anhang 6.3** bis **Anhang 6.4** sind die prognostizierten Immissionen aus sekundärem Luftschall ausgewiesen. Für die geplanten Bebauungen wird für den Tagzeitraum der Immissionsrichtwert für eine Wohnnutzung und im Nachzeitraum für eine Nutzung als Schlafraum der Beurteilung zu Grunde gelegt. Somit gilt im Tag- bzw. im Nachtzeitraum ein Immissionsrichtwert von

 $IRW_{Tag/Nacht} = 40 / 30 dB(A)$.

Es ergeben sich Beurteilungspegel tags bzw. nachts von bis zu

 $L_{r,Tag/Nacht} = 27.4 / 29.3 dB(A)$.

Die prognostizierten Pegel unterschreiten ab

r ≥ 12 m

(kleinste Abstand des Plangebiets zu Gleis 1) die Immissionsrichtwerte sowohl im Tag- als auch im Nachtzeitraum für alle Geschossdeckentypen deutlich. Erhebliche Belästigungen infolge der zukünftigen sekundären Luftschallimmissionen sind somit **nicht** zu erwarten.

7.2.3 Maßnahmen

Bei den gegebenen Abstandsverhältnissen können für die schutzbedürftigen Nutzungen in Allgemeinen Wohngebiet innerhalb der Korridorbreite von

r < 45 m

bzw. in Mischgebiet innerhalb der Korridorbreite von

r < 35 m

Projekt: B-Plan Krebsschere



zum nächstgelegenen befahrenen Gleis erhebliche Belästigungen infolge schienenverkehrsinduzierter Erschütterungsimmissionen **nicht** ausgeschlossen werden. Die sekundären Luftschallimmissionen sind als unkritisch einzustufen.

Um für die innerhalb dieser Korridorbreiten geplanten Gebäude gewährleisten zu können, dass die Anforderungen an den Erschütterungsschutz erfüllt werden, müssen Maßnahmen zur Reduzierung der zukünftigen Erschütterungseinwirkungen in Erwägung gezogen werden. Als Maßnahmen eignet sich z. B. eine elastische Gebäudelagerung und eine Entkopplung der Untergeschossaußenwände vom anstehenden Erdreich durch vertikal angeordnete "Elastomermatten".

8 Abschließende Bemerkungen

Die erschütterungstechnische Untersuchung belegt, dass innerhalb der oben genannten Korridorbreiten im Plangebiet ein mögliches Konfliktpotential aufgrund von schienenverkehrsinduzierten Erschütterungsimmissionen besteht.

Zur Minderung der Immissionen aus Erschütterungen werden daher gebäudeseitige Maßnahmen für die innerhalb dieser Korridorbreiten geplanten Gebäude empfohlen.

Ferner wird empfohlen die Prognosen im Vorfeld der Baugenehmigungsverfahren auf Basis konkretisierter Gebäudeplanung erneut zu überprüfen und die gegebenenfalls erforderlichen Minderungsmaßnahmen auf diese Planung abzustimmen.

AUFGESTELLT:

Dipl.-Phys. Andreas Malizki

GEPRÜFT:

André Kaminski B.Eng.

ANHANG

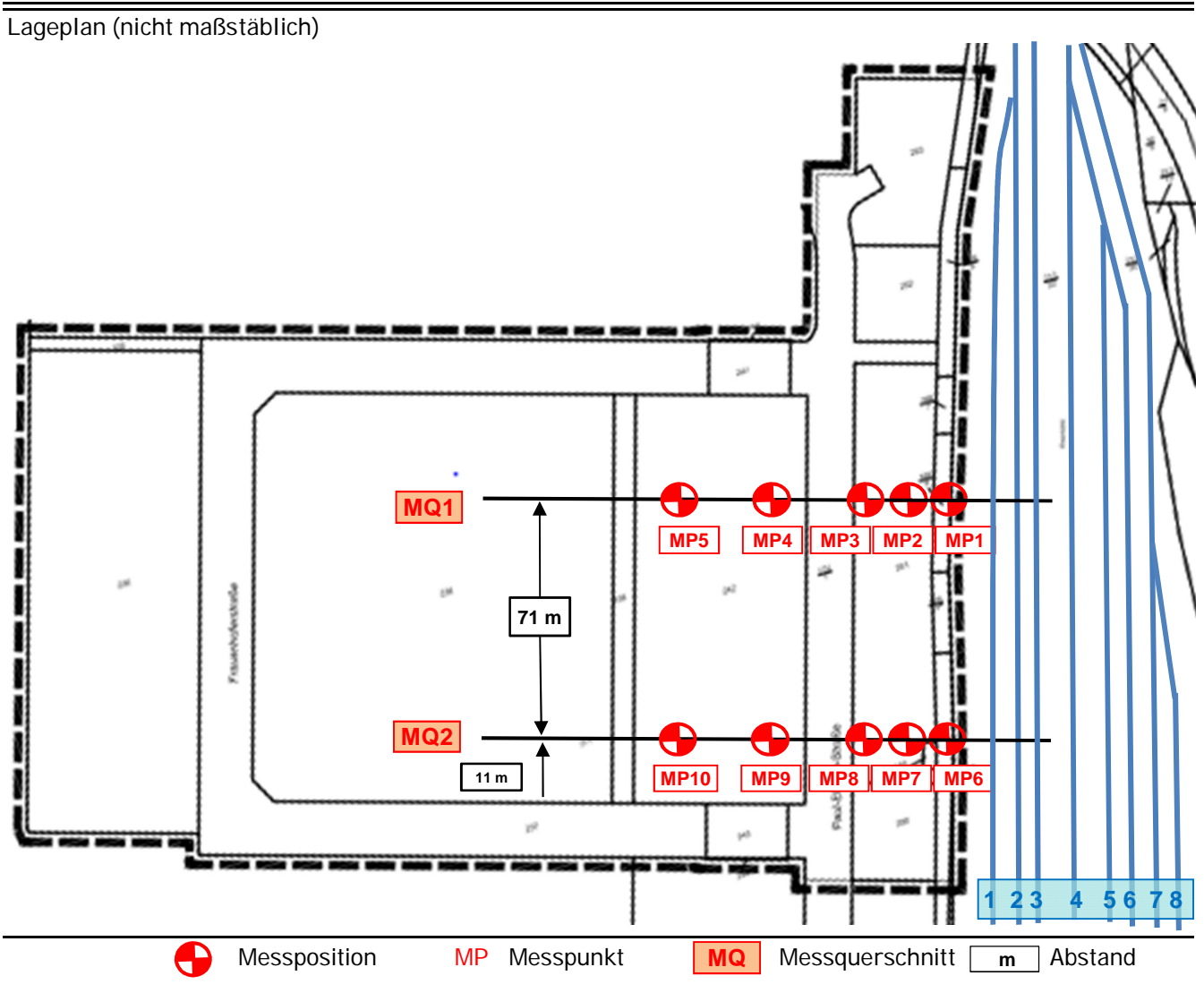


Beschreibung des Messortes

K:\B Projekte\2017\8243 VSE DietmarBücher BadVilbel BPlan Krebssschere\C Bearbeitung\C-Auswertung\[10 Messprotokoll-Ausbreitung1.xlsx]1.1

Objektadresse: BP Krebsschere Datum: 15.01.2018

Bad Vilbel



Allgemeine Angaben zu den Messpunkten

Mess- position	Lage	Abstand 1. Gleis	Ankopplung
1	Freifeld	8 m	an Erdreich mit Erdspieß
2	Freifeld	16 m	an Erdreich mit Erdspieß
3	Freifeld	29,5 m	an Erdreich mit Erdspieß
4	Freifeld	45 m	an Erdreich mit Erdspieß
5	Freifeld	64 m	an Erdreich mit Erdspieß
6	Freifeld	10,5 m	an Erdreich mit Erdspieß
7	Freifeld	16 m	an Erdreich mit Erdspieß
8	Freifeld	28,5 m	an Erdreich mit Erdspieß
9	Freifeld	45 m	an Erdreich mit Erdspieß
10	Freifeld	64 m	an Erdreich mit Erdspieß



Beschreibung des Messortes

K:\B_Projekte\2017\8243_VSE_DietmarBücher_BadVilbel_BPlan_Krebssschere\C_Bearbeitung\C-Auswertung\[10_Messprotokoll-Ausbreitung1.xlsx]1.2

Objektadresse: BP Krebsschere Datum: 15.01.2018

Bad Vilbel

Angaben zu den Abständen zwischen den Messpositionen und den Gleis - Prognose-Nullfall

		MP 1	MP 2	MP 3	MP 4	MP 5	MP 6	MP 7	MP 8	MP 9	MP 10
Gleis	1	8,0 m	16,0 m	29,5 m	45,0 m	64,0 m	10,5 m	16,0 m	29,5 m	45,0 m	64,0 m
Gleis	2	12,5 m	20,5 m	34,0 m	49,5 m	68,5 m	15,0 m	20,5 m	34,0 m	49,5 m	68,5 m
Gleis	3	17,0 m	25,0 m	38,5 m	54,0 m	73,0 m	19,5 m	25,0 m	38,5 m	54,0 m	73,0 m
Gleis	4	27,5 m	35,5 m	49,0 m	64,5 m	83,5 m	30,0 m	35,5 m	49,0 m	64,5 m	83,5 m
Gleis	5	32,0 m	40,0 m	53,5 m	69,0 m	88,0 m	34,5 m	40,0 m	53,5 m	69,0 m	88,0 m
Gleis	6	37,0 m	45,0 m	58,5 m	74,0 m	93,0 m	39,5 m	45,0 m	58,5 m	74,0 m	93,0 m
Gleis	7	42,0 m	50,0 m	63,5 m	79,0 m	98,0 m	44,5 m	50,0 m	63,5 m	79,0 m	98,0 m
Gleis	8	44,5 m	52,5 m	66,0 m	81,5 m	100,5 m	47,0 m	52,5 m	66,0 m	81,5 m	100,5 m





K:\B Projekte\2017\8243 VSE DietmarBücher BadVilbel BPlan Krebssschere\C Bearbeitung\C-Auswertung\[10 Messprotokoll-Ausbreitung1.xlsxl1.3

Messposition 1: 8 m



Messposition 2: 16 m



Messposition 3: 29,5 m



Messposition 4: 45 m



Messposition 4: 64 m



Kanal	Mess-	Mess-	Sensor Nr.	Kalibrier-	Mess-
	position	richtung		faktor	bereich
					[mm/s]
2	1	Z	V24	0,99	1,0
1	2	Z	V20	0,98	1,0
3	3	Z	V25	0,99	0,5
7	4	Z	V11	0,99	0,1
8	5	Z	V23	0,99	0,1





K:\B Projekte\2017\8243 VSE DietmarBücher BadVilbel BPlan Krebssschere\C Bearbeitung\C-Auswertung\[10 Messprotokoll-Ausbreitung1.xlsxl]1.4

Messposition 6: 10,5 m



Messposition7: 16 m



Messposition 8: 28,5 m



Messposition 9: 45 m



Messposition 10: 64 m



Kanal	Mess-	Mess-	Sensor Nr.	Kalibrier-	Mess-
	position	richtung		faktor	bereich
					[mm/s]
4	6	Z	V5	1,01	1,0
5	7	Z	V13	0,99	1,0
6	8	Z	V14	1,01	0,5
9	9	Z	V19	1,01	0,2
10	10	Z	V21	1,01	0,1

Messprotokoll Erschütterungen Dokumentation der einzelnen Zugvorbeifahrten



K:\B_Projekte\2017\8243_VSE_DietmarBücher_BadVilbel_BPlan_Krebssschere\C_Bearbeitung\C-Auswertung\[10_Messprotokoll-Ausbreitung1.xlsx]1.5

Objektadresse: BP Krebsschere Datum: 15.01.2018

Bad Vilbel Zeitraum: 12:43 bis 13:20

Messung Nr.:	Uhrzeit	Zuggattung	Gleis Nr.	v [km/h]	Richtung FFM = Frankfurt Fr = Friedberg	Bemerkung
01	10:12	S	2	58	FFM	
02	10:15	S	3	56	Fr	
03	10:16	NV	4	35	FFM	
04	10:23	NV	2	76	FFM	NVDS
05	10:33	NV	3	78	Fr	HLB
06	10:44	S	2	56	FFM	
07	10:46	NV	3	67	Fr	
08	10:51	FV	2	74	FFM	IC
09	10:52	NV	4	49	FFM	
10	10:53	S	3	81	Fr	
11	11:02	NV	3	46	Fr	
12	11:03	FV	3	72	Fr	IC
13	11:05	S	2	50	FFM	
14	11:09	NV	2	41	FFM	
15	11:12	S	3	72	Fr	
16	11:20	NV	2	74	FFM	HLB
17	11:24	S	3	69	Fr	
18	11:32	S	2	54	FFM	
19	11:42	S	3	70	Fr	
20	11:44	S	2	58	FFM	
21	11:51	NV	4	39	FFM	
22	11:52	NV	2	78	FFM	
23	11:54	S	3	82	Fr	
24	12:02	NV	2	39	FFM	
25	12:06	NV	3	82	Fr	
26	12:12	S	3	88	Fr	
27	12:13	S	2	72	FFM	
28	12:22	NV	2	81	FFM	NVDS
29	12:24	S	3	72	Fr	
30	12:32	S	2	71	FFM	
31	12:43	S	2	53	FFM	
32	12:46	NV	3	64	Fr	
33	12:52	NV	4	48	FFM	
34	12:54	S	3	79	Fr	
35	13:00	FV	2	82	FFM	
36	13:02	NV	4	45	FFM	
37	13:03	FV	3	87	Fr	
38	13:07	S	2	62	FFM	
39	13:10	NV	2	48	FFM	
40	13:20	NV	2	77	FFM	HLB

Messprotokoll Erschütterungen Dokumentation der einzelnen Zugvorbeifahrten



K:\B_Projekte\2017\8243_VSE_DietmarBücher_BadVilbel_BPlan_Krebssschere\C_Bearbeitung\C-Auswertung\[10_Messprotokoll-Ausbreitung1.xlsx]1.6

Objektadresse: BP Krebsschere Datum: 15.01.2018

Bad Vilbel Zeitraum: 13:32 bis 14:33

Messung Nr.:	Uhrzeit	Zuggattung	Gleis Nr.	v [km/h]	Richtung FFM = Frankfurt Fr = Friedberg	Bemerkung
41	13:32	S	2	53	FFM	
42	13:33	NV	3	82	Fr	NVDS
43	13:37	GV	2	50	FFM	
44	13:41	S	3	79	Fr	
45	13:43	S	2	62	FFM	
46	13:54	S	3	76	Fr	
47	13:57	NV	2	69	FFM	
48	14:05	NV	3	79	Fr	
49	14:08	S	2	58	FFM	
50	14:15	GV	3	51	Fr	
51	14:22	NV	2	62	FFM	NVDS
52	14:25	S	3	68	Fr	
53	14:31	S	2	69	FFM	
54	14:33	NV	3	78	Fr	
55						
56						
57						
58						
59						
60						
61						
62						
63						
64						
65						
66						
67						
68						
69						
70						
71						
72						
73						
74						
75						
76						
77						
78						
79						
80						

Messprotokoll Erschütterungen Übersicht Geschwindigkeit, Anzahl Vorbeifahrten



K:\B_Projekte\2017\8243_VSE_DietmarBücher_BadVilbel_BPlan_Krebssschere\C_Bearbeitung\C-Auswertung\[10_Messprotokoll-Ausbreitung1.xlsx]1.7

Objektadresse: BP Krebsschere

Datum: 15.01.2018

Bad Vilbel Zeitraum: 10:12 bis 14:33

Gemessene Durchschnittsgeschwindigkeit v [km/h]

	Zuggattung								
	GV	NV	FV	S					
Gleis 2	50 +/- 0	65 +/- 15	78 +/- 4	60 +/- 7					
Gleis 3	51 +/- 0	74 +/- 12	80 +/- 8	74 +/- 8					
Gleis 4		43 +/- 5							
Mittelwert	51 +/- 1	62 +/- 16	79 +/- 11	67 +/- 7					

Anzahl der messtechnisch erfassten Zugvorbeifahrten je Gleis

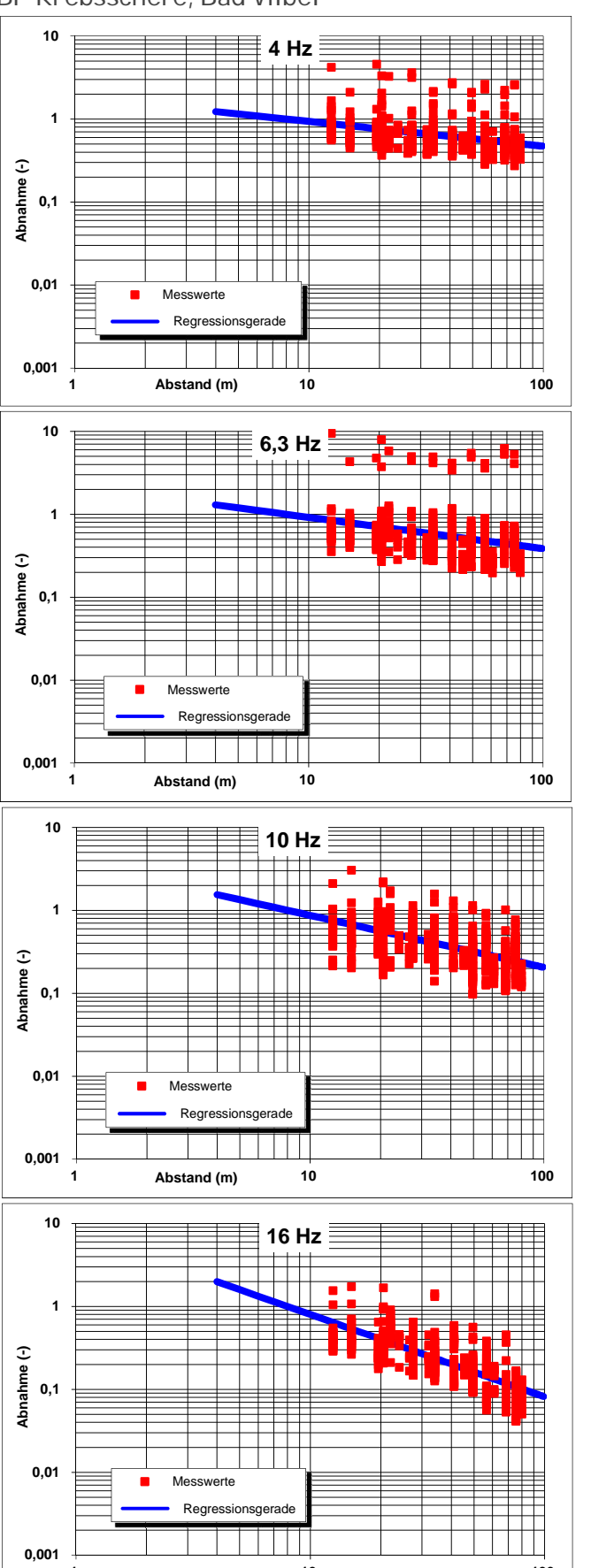
	Zuggattung									
	GV	NV	FV	S						
Gleis 2	1	10	2	13						
Gleis 3	1	8	2	12						
Gleis 4	0	5	0	0						
Summe	2	23	4	25						

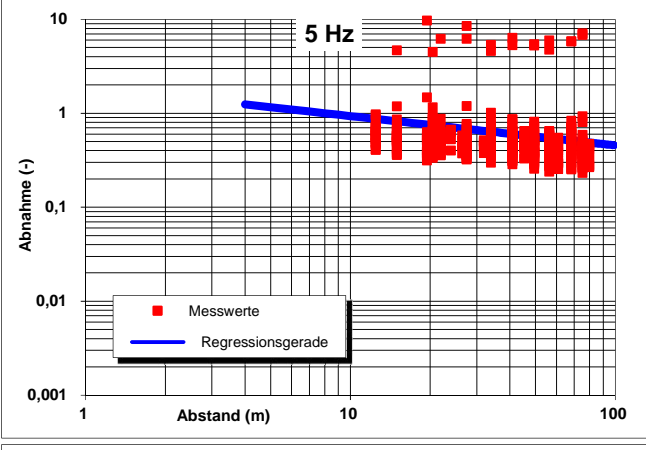
Abnahme der Schwinggeschwindigkeit in Abhängigkeit des Abstandes

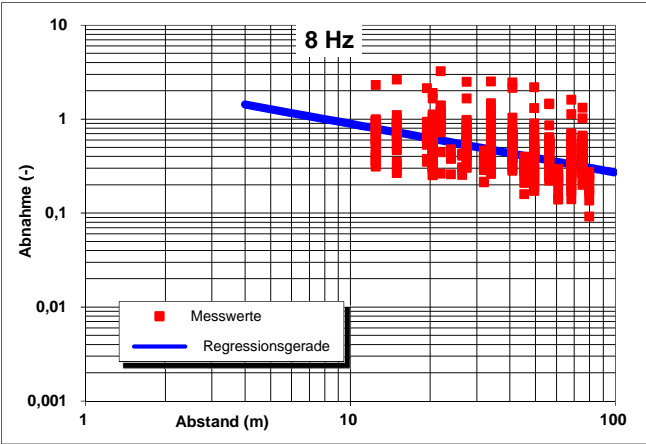


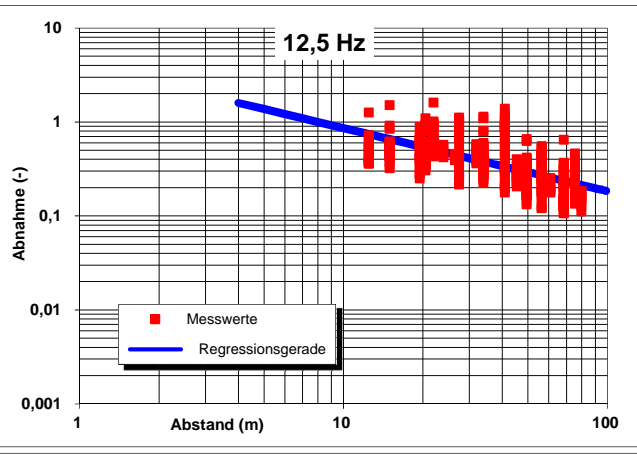
K:\B_Projekte\2017\8243_VSE_DietmarBücher_BadVilbel_BPlan_Krebssschere\C_Bearbeitung\C-Auswertung\[Emissionen_8m.xls]3.4

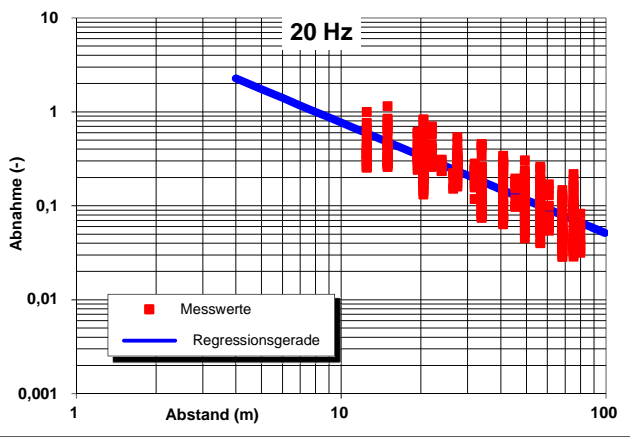
BP Krebsschere, Bad Vilbel







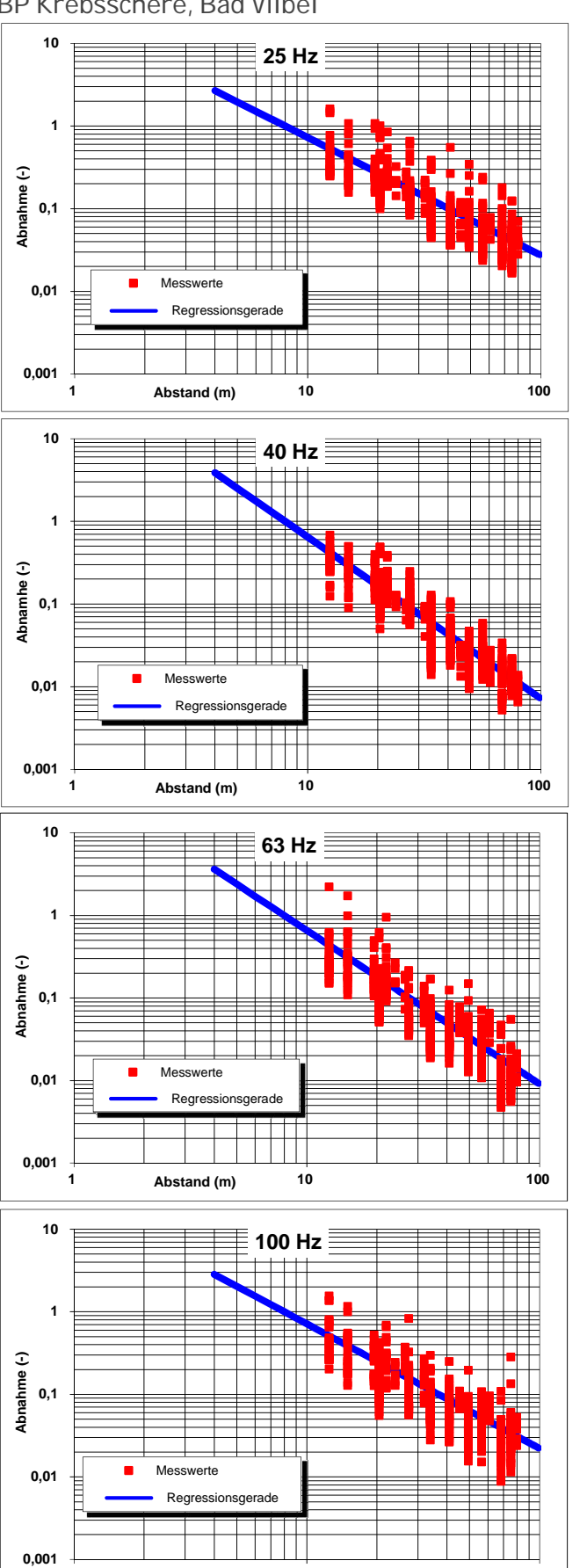


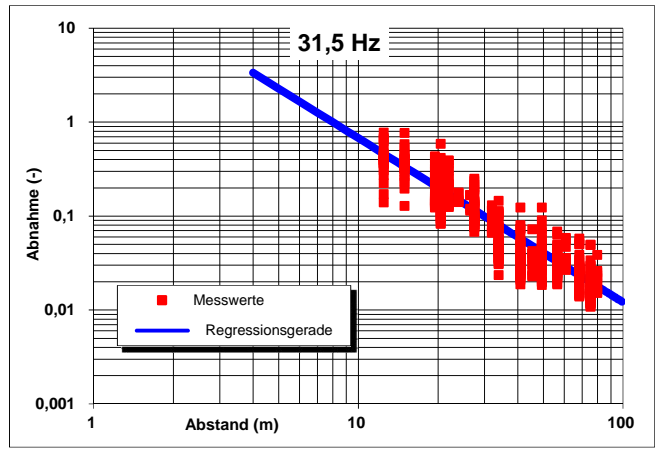


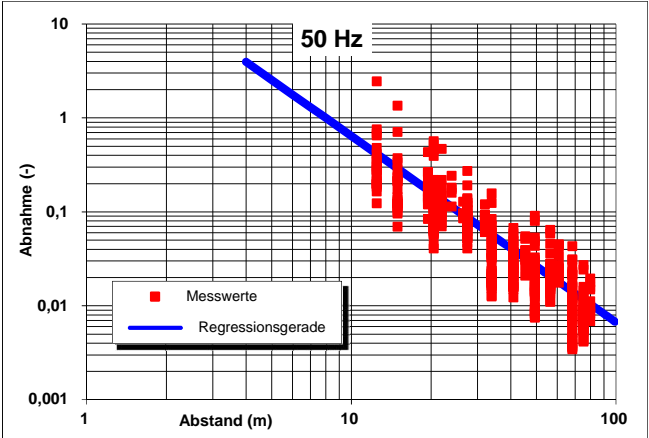
Abnahme der Schwinggeschwindigkeit in Abhängigkeit des Abstandes

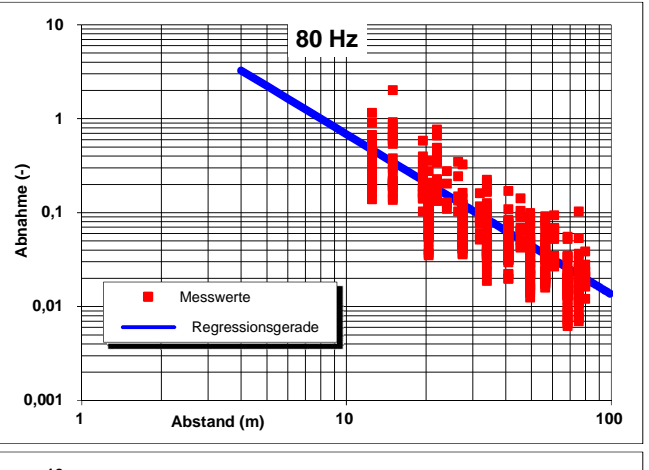


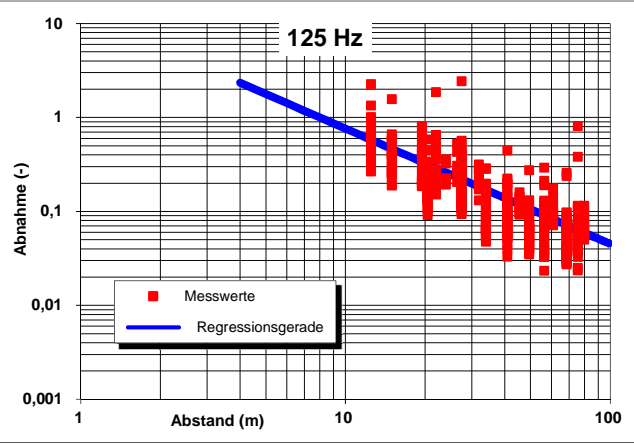
BP Krebsschere, Bad Vilbel











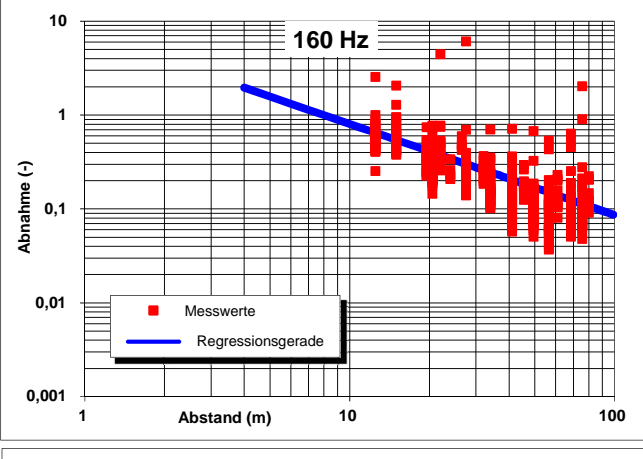
Abstand (m)

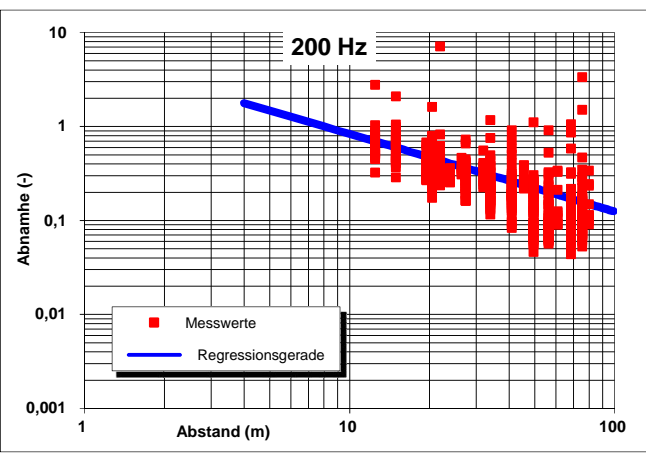
Abnahme der Schwinggeschwindigkeit in Abhängigkeit des Abstandes

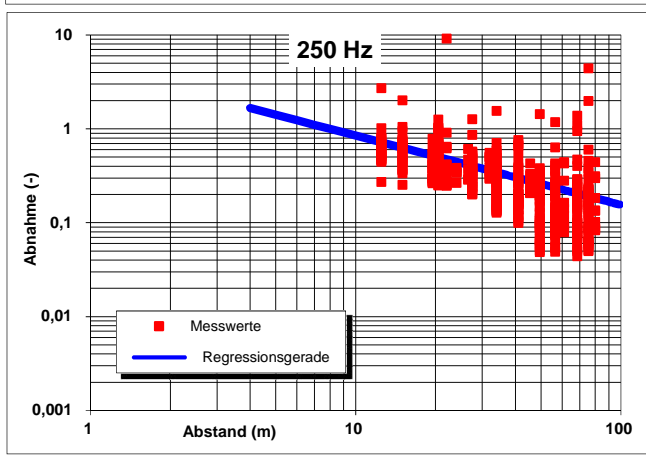


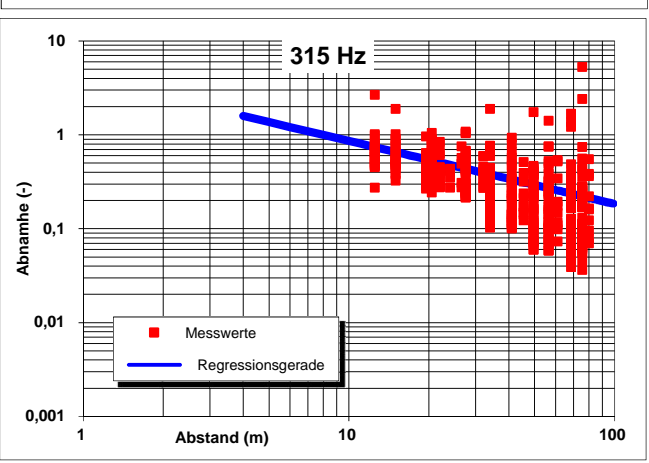
K:\B_Projekte\2017\8243_VSE_DietmarBücher_BadVilbel_BPlan_Krebssschere\C_Bearbeitung\C-Auswertung\[Emissionen_8m.xls]3.4

BP Krebsschere, Bad Vilbel

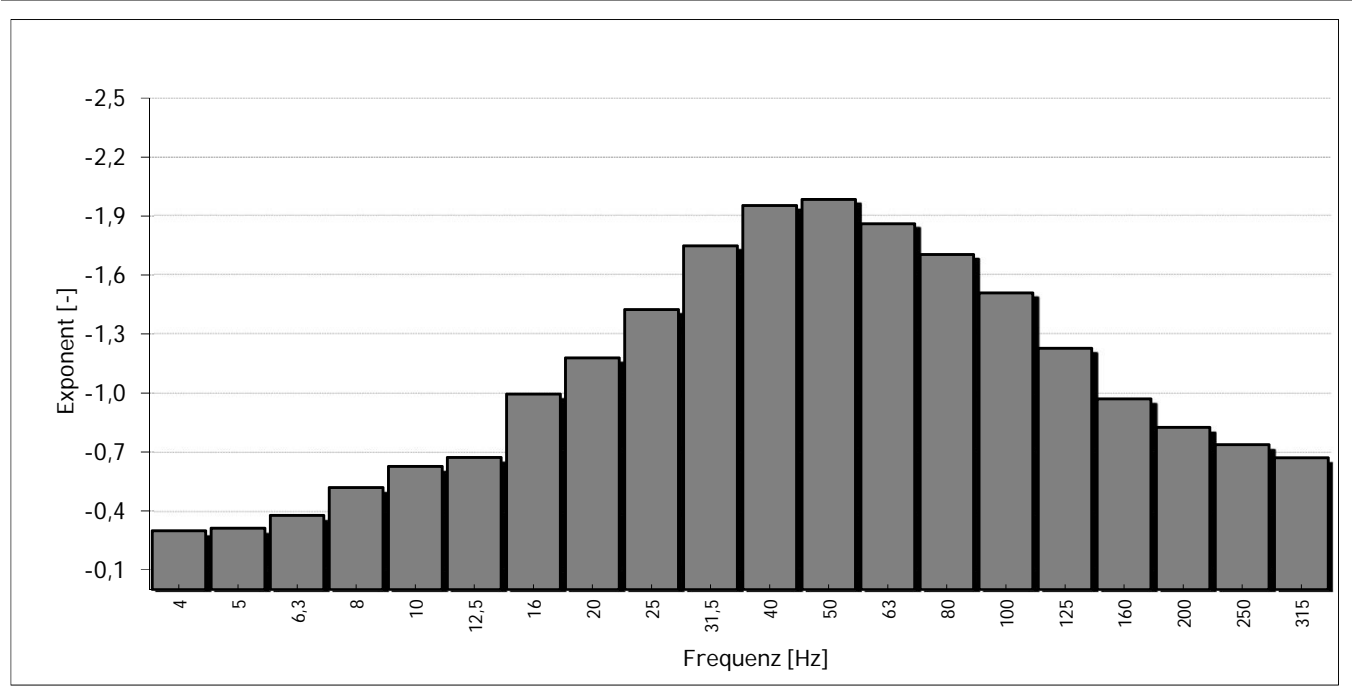








Terzen	4	5	6,3	8	10	13	16	20	25	32	40	50	63	80	100	125	160	200	250	315
Exponent	-0,3	-0,3	-0,4	-0,5	-0,6	-0,7	-1,0	-1,2	-1,4	-1,7	-2,0	-2,0	-1,9	-1,7	-1,5	-1,2	-1,0	-0,8	-0,7	-0,7



Bezugsabstand 8 m zur Gleisachse



K:\B_Projekte\2017\8243_VSE_DietmarBücher_BadVilbel_BPlan_Krebssschere\C_Bearbeitung\C-Auswertung\[Emissionen_8m.xls]3.1

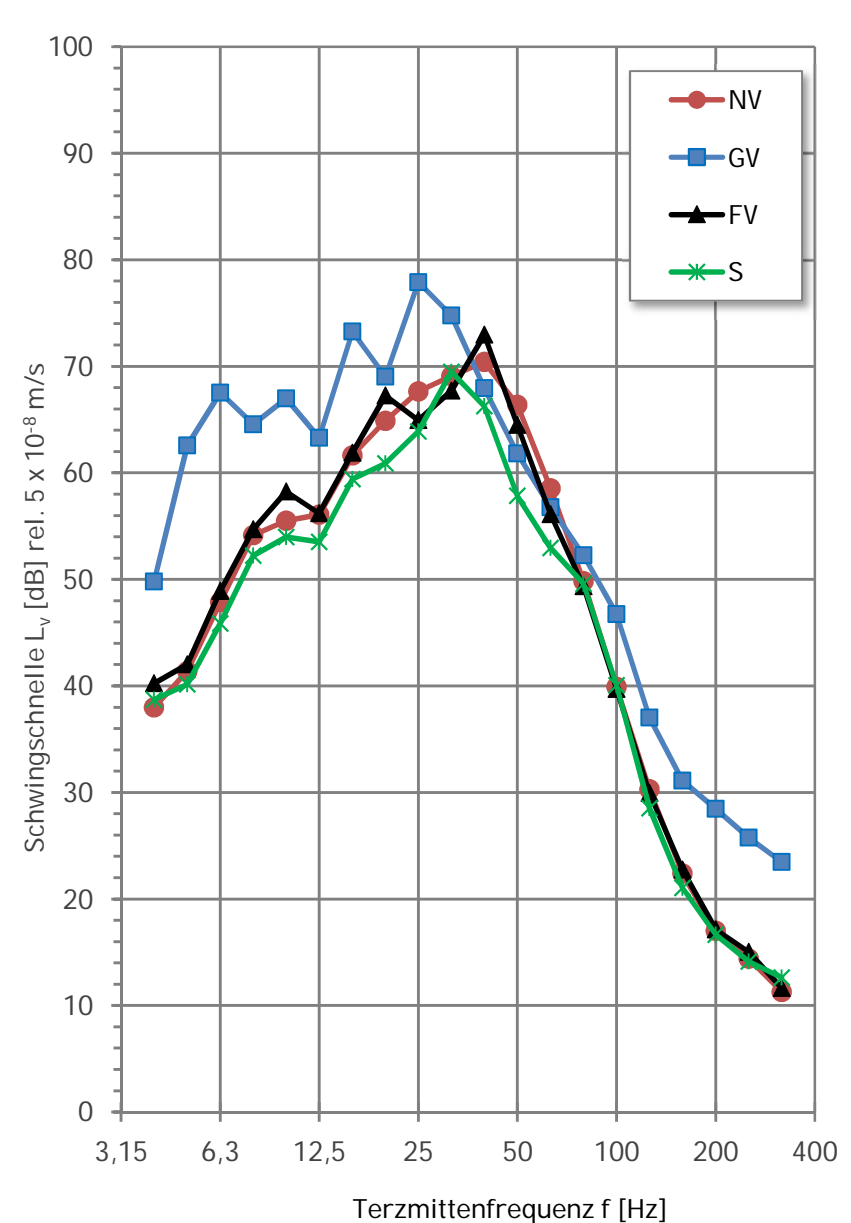
Quelle: Erschütterungsmessungen Krebsschere, Bad Vilbel KREBS + KIEFER FRITZ AG 15.01.2018

Strecke 3684/3900: NV GV FV S

Anzahl der Züge: 10 1 2 13

Geschwindigkeit: 65 50 78 60 [km/h]

Mittelwert



Lv	Lv	Lv	Lv	f		
[dB]	[dB]	[dB]	[dB]	[Hz]		
38,0	49,8	40,2	38,7	4		
41,4	62,6	42,0	40,1	5		
47,9	67,5	48,9	45,8	6,3		
54,2	64,6	54,7	52,2	8		
55,5	67,0	58,2	54,0	10		
56,1	63,3	56,2	53,5	12,5		
61,6	73,3	61,9	59,4	16		
64,9	69,0	67,3	60,9	20		
67,7	77,9	64,9	63,9	25		
69,1	74,8	67,7	69,5	31,5		
70,4	68,0	72,9	66,3	40		
66,4	61,8	64,5	57,8	50		
58,5	56,8	56,1	52,9	63		
49,8	52,3	49,3	49,6	80		
39,9	46,7	39,7	40,1	100		
30,3	37,0	29,9	28,5	125		
22,4	31,1	22,7	21,0	160		
17,0	28,5	17,1	16,6	200		
14,4	25,8	15,0	14,1	250		
11,3	23,5	11,6	12,6	315		
75,5	81,7	76,1	72,8	S		

Referenz: $v_0 = 5.10^{-8} \text{ m/s}$

Bezugsabstand 8 m zur Gleisachse



K:\B_Projekte\2017\8243_VSE_DietmarBücher_BadVilbel_BPlan_Krebssschere\C_Bearbeitung\C-Auswertung\[Emissionen_8m.xls]3.2

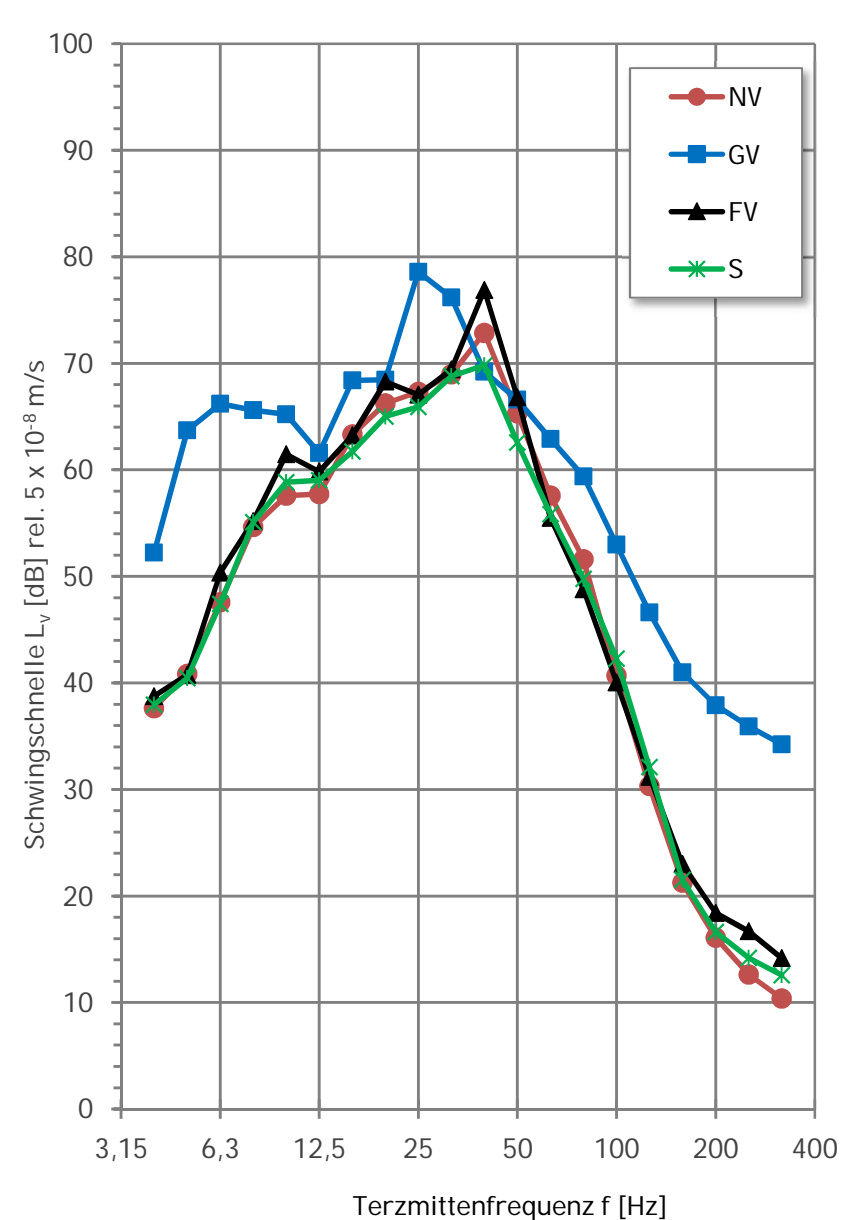
Quelle: Erschütterungsmessungen Krebsschere, Bad Vilbel KREBS + KIEFER FRITZ AG 15.01.2018

Strecke 3684/3900: NV GV FV S

Anzahl der Züge: 8 1 2 12

Geschwindigkeit: 74 51 80 74 [km/h]

Mittelwert



Lv	Lv	Lv	Lv	f		
[dB]	[dB]	[dB]	[dB]	[Hz]		
37,6	52,2	38,7	38,0	4		
40,8	63,7	40,7	40,5	5		
47,6	66,2	50,3	47,4	6,3		
54,6	65,6	55,2	55,1	8		
57,6	65,2	61,5	58,8	10		
57,7	61,6	59,8	59,0	12,5		
63,3	68,4	63,2	61,7	16		
66,2	68,5	68,3	65,0	20		
67,3	78,6	67,0	65,9	25		
69,0	76,2	69,4	68,8	31,5		
72,9	69,2	76,9	69,8	40		
65,3	66,6	66,8	62,6	50		
57,6	62,9	55,5	55,8	63		
51,6	59,4	48,8	49,8	80		
40,7	53,0	40,0	42,3	100		
30,3	46,6	31,2	32,1	125		
21,2	41,0	23,0	21,5	160		
16,1	37,9	18,4	16,6	200		
12,6	35,9	16,7	14,2	250		
10,4	34,2	14,1	12,6	315		
76,5	82,0	79,0	74,8	S		

Referenz:

 $v_0 = 5.10^{-8} \text{ m/s}$

Bezugsabstand 8 m zur Gleisachse



K:\B_Projekte\2017\8243_VSE_DietmarBücher_BadVilbel_BPlan_Krebssschere\C_Bearbeitung\C-Auswertung\[Emissionen_8m.xls]3.3

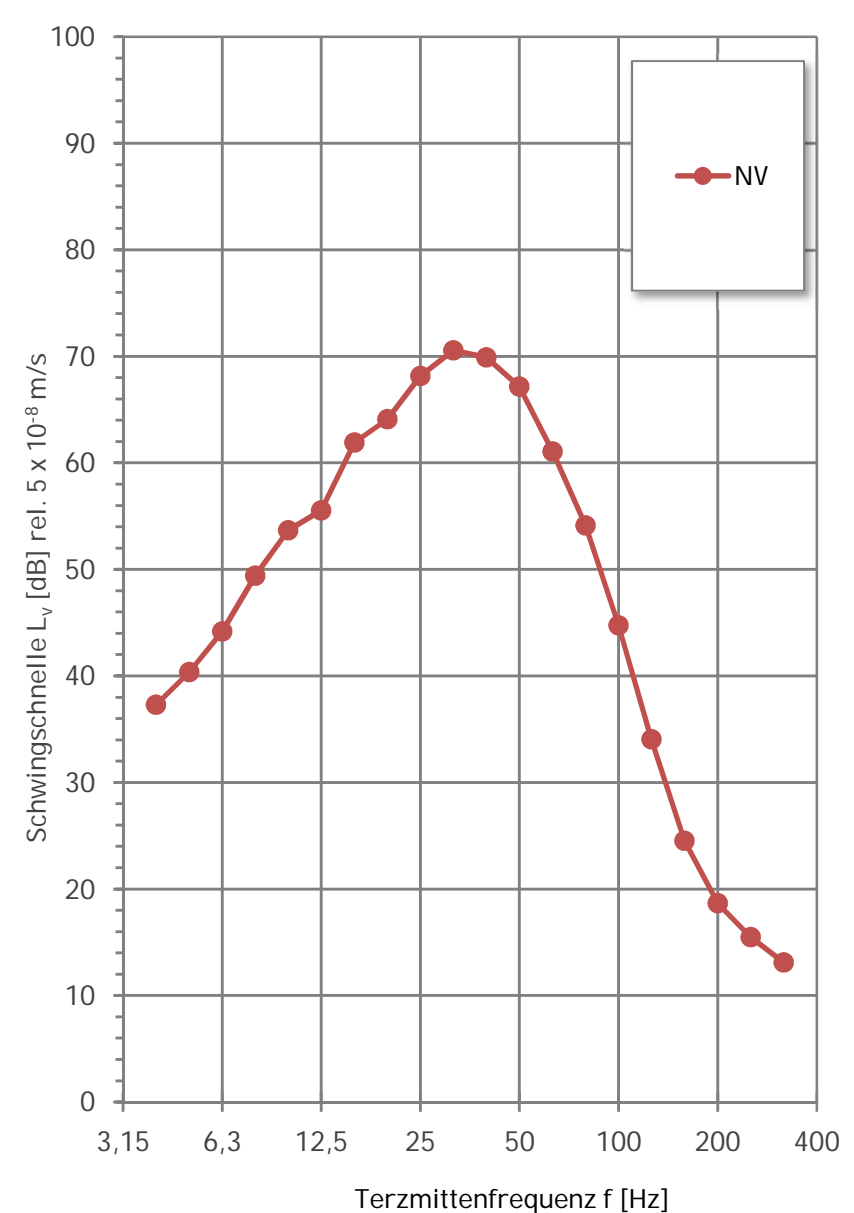
Quelle: Erschütterungsmessungen Krebsschere, Bad Vilbel KREBS + KIEFER FRITZ AG 15.01.2018

Strecke 3684/3900: NV GV FV S

Anzahl der Züge: 5 0 0 0

Geschwindigkeit: 43 - - - [km/h]

Mittelwert



Lv	Lv	Lv	Lv	f
[dB]	[dB]	[dB]	[dB]	[Hz]
37,3	-	-	-	4
40,4	-	-	-	5
44,2	-	-	-	6,3
49,4	-	-	-	8
53,7	-	-	-	10
55,5	-	-	-	12,5
61,9	-	-	-	16
64,1	-	-	-	20
68,2	-	-	-	25
70,6	-	-	-	31,5
69,9	-	-	-	40
67,2	-	-	-	50
61,1	-	-	-	63
54,1	-	-	-	80
44,8	-	-	-	100
34,0	-	-	-	125
24,5	-	-	-	160
18,7	_	-	-	200
15,5	_		-	250
13,1	-	-	-	315
75,9	0,0	0,0	0,0	S

Referenz:

 $v_0 = 5.10^{-8} \text{ m/s}$

Bezugsabstand 8 m zur Gleisachse



K:\B_Projekte\2017\8243_VSE_DietmarBücher_BadVilbel_BPlan_Krebssschere\C_Bearbeitung\C-Auswertung\[Emissionen_8m.xls]3.4

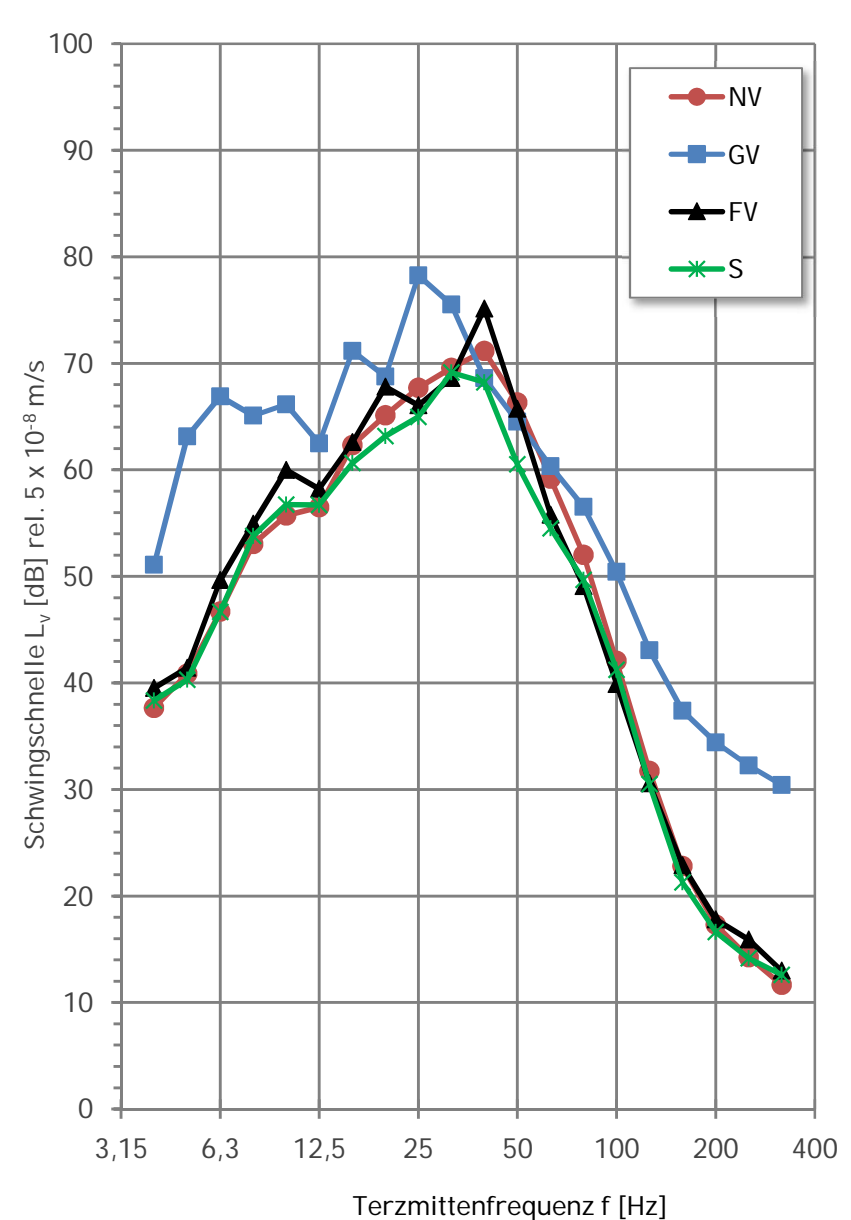
Quelle: Erschütterungsmessungen Krebsschere, Bad Vilbel KREBS + KIEFER FRITZ AG 15.01.2018

Strecke 3684/3900: NV GV FV S

Anzahl der Züge: 23 2 4 25

Geschwindigkeit: 62 51 79 67 [km/h]

Mittelwert



Lv	Lv	Lv	Lv	f
[dB]	[dB]	[dB]	[dB]	[Hz]
37,6	51,1	39,5	38,3	4
40,9	63,1	41,4	40,3	5
46,7	66,9	49,6	46,7	6,3
53,0	65,1	54,9	53,8	8
55,7	66,1	60,0	56,7	10
56,5	62,5	58,2	56,7	12,5
62,3	71,2	62,6	60,7	16
65,1	68,7	67,8	63,2	20
67,7	78,2	66,1	65,0	25
69,6	75,5	68,6	69,1	31,5
71,1	68,6	75,1	68,2	40
66,3	64,5	65,7	60,5	50
59,2	60,4	55,8	54,5	63
52,0	56,5	49,1	49,7	80
42,1	50,4	39,9	41,2	100
31,7	43,1	30,6	30,5	125
22,8	37,4	22,9	21,3	160
17,3	34,4	17,8	16,6	200
14,2	32,2	15,9	14,2	250
11,7	30,4	13,0	12,6	315
75,9	81,8	77,6	73,8	S

Referenz:

 $v_0 = 5.10^{-8} \text{ m/s}$

Korrekturfunktion

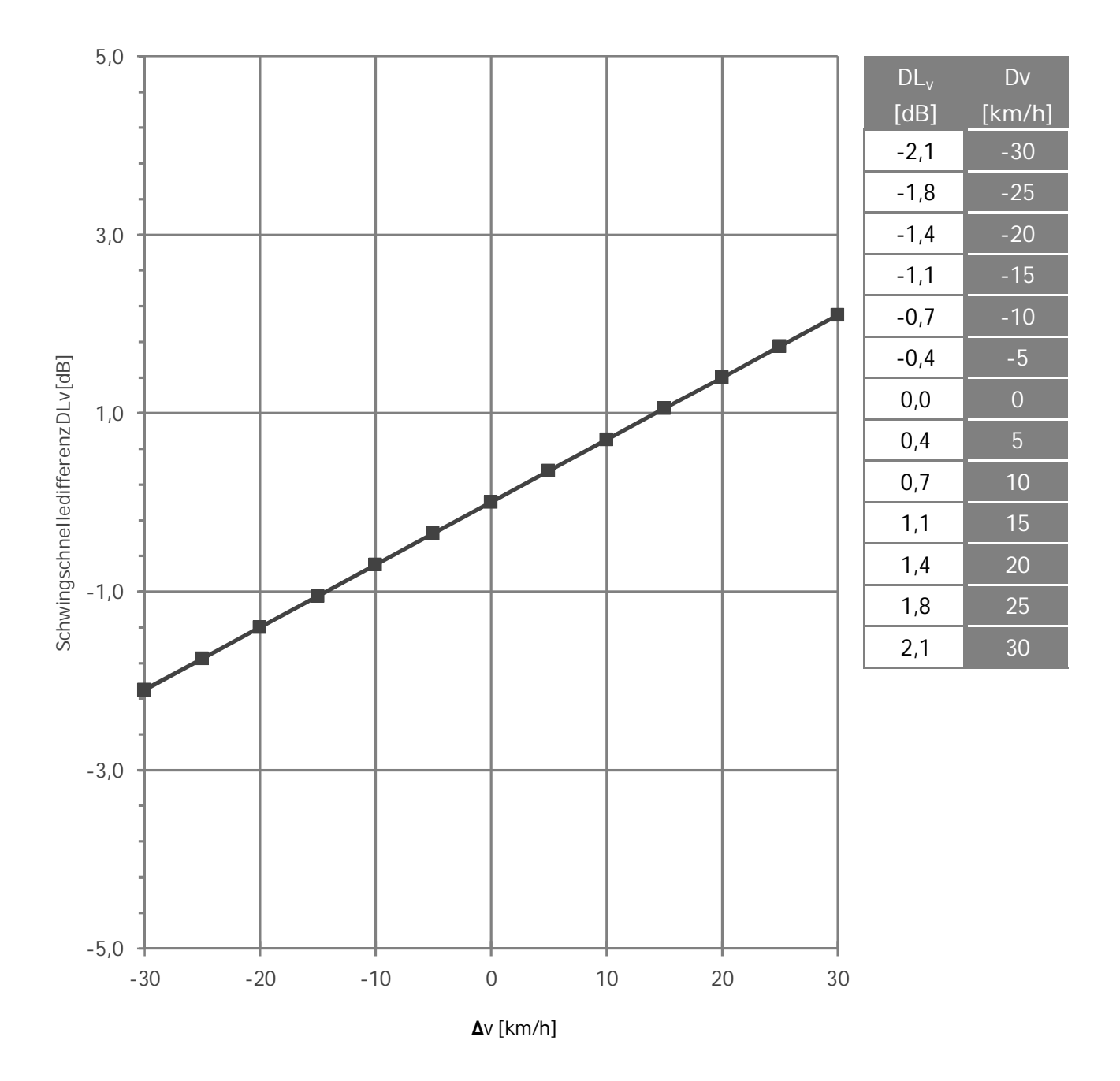


 $K: \begin{tabular}{ll} K: \begin{tabular}{ll} K: \begin{tabular}{ll} Emission_v_korrektur. v_GV \\ Emission_v_GV \\ Emission_v_korrektur. v_GV \\ Emission_v_GV \\ Emission_v$

Quelle: aus Ausbreitungsmessungen - S6 1. Baustufe

FRITZ GmbH, Bericht Nr. 97176-VME-1 und 97176-VME-2, August 2012

Schwingrichtung: vertikal (z)



Korrekturfunktion

Geschwindigkeit - NV und S-Bahn

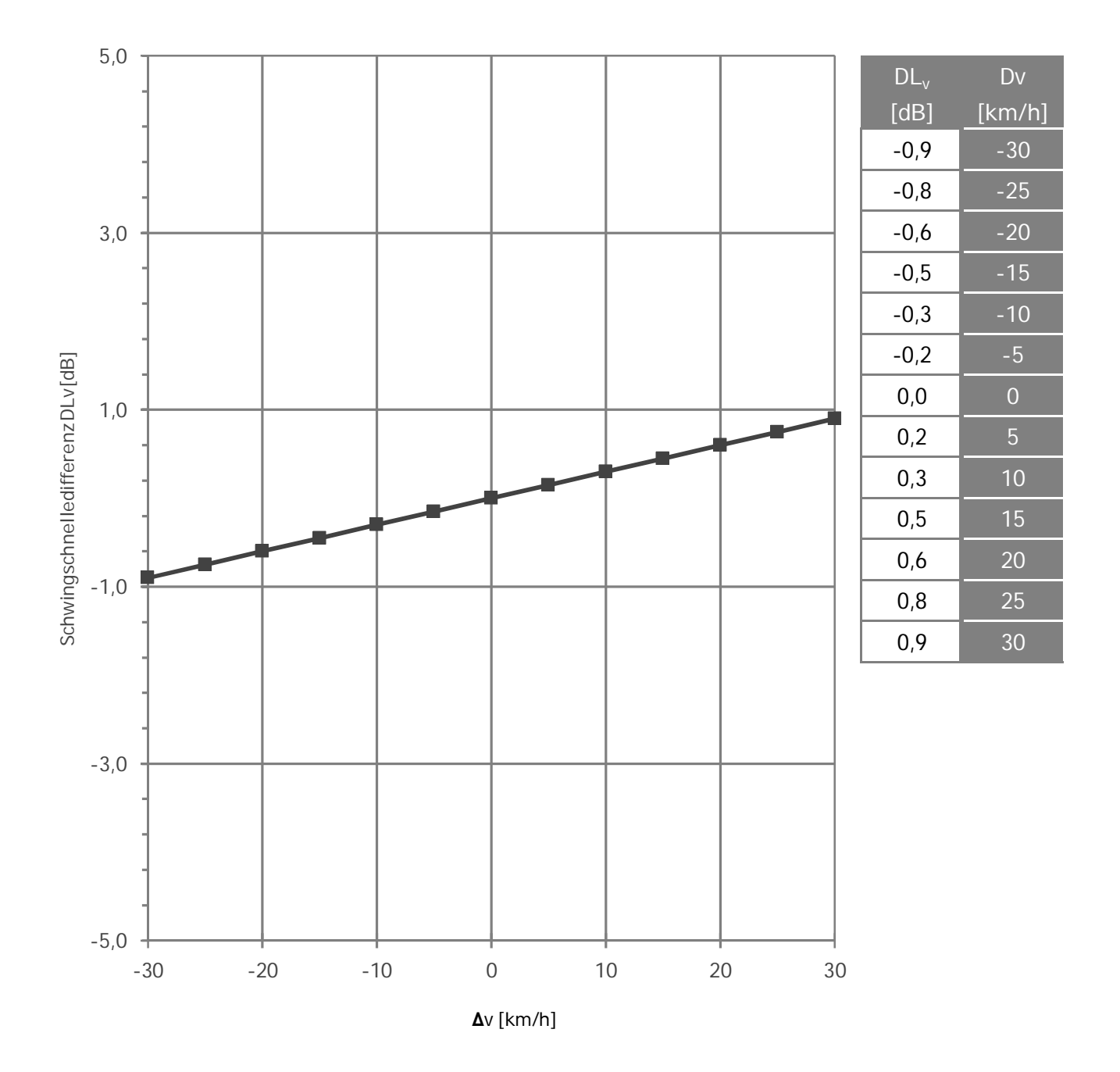


 $K:\B_Projekte\2011\8007_VMW_Quartier_am_Henninger_Turm_Quellenpark\C_Bearbeitung\C-Auswertung\[Emission_v_korrektur.xls]Korrektur-v-NV$

Quelle: aus Ausbreitungsmessungen - S6 1. Baustufe

FRITZ GmbH, Bericht Nr. 97176-VME-1 und 97176-VME-2, August 2012

Schwingrichtung: vertikal (z)



Korrekturfunktion

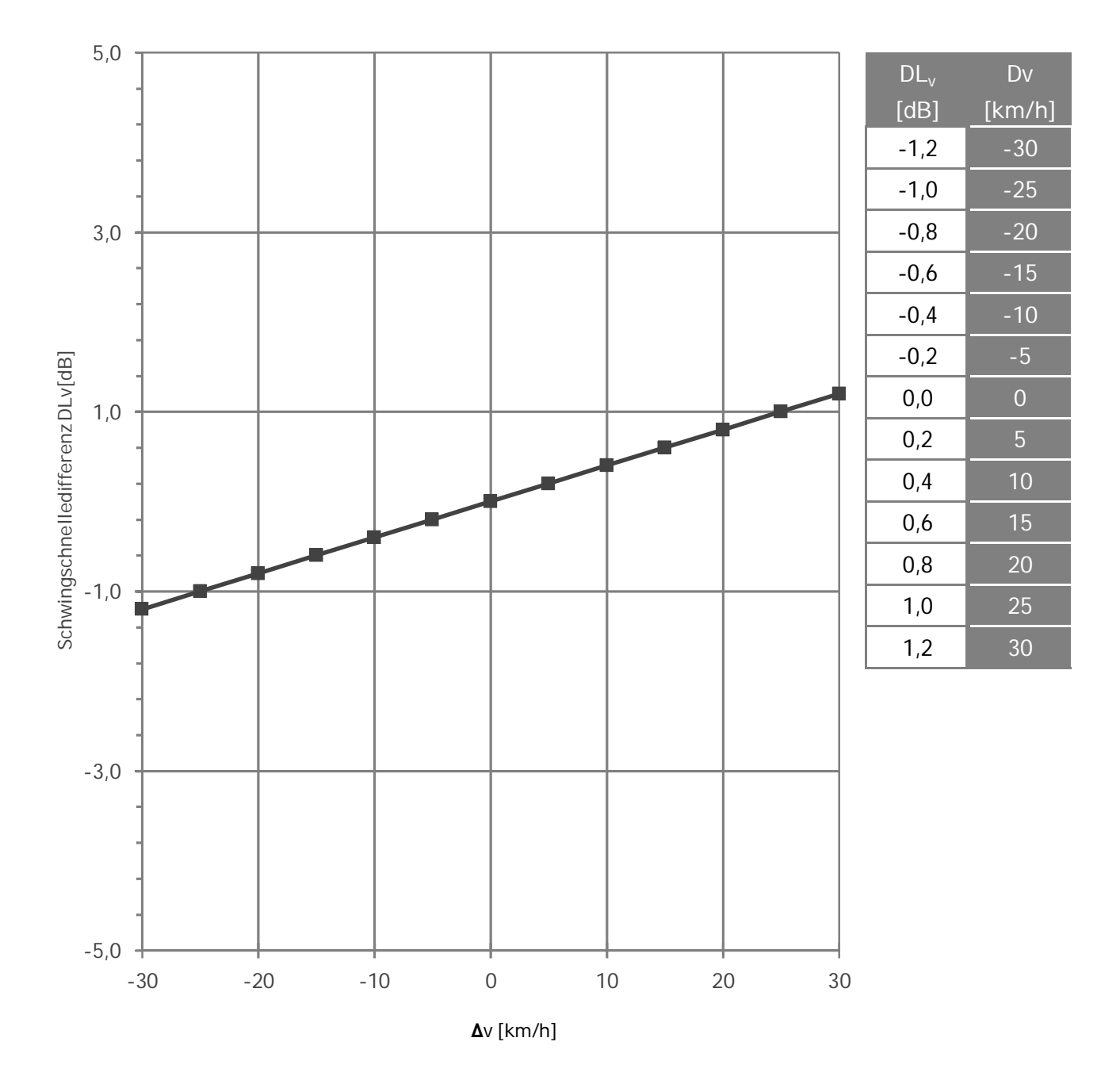


 $K:\B_Projekte\2011\8007_VMW_Quartier_am_Henninger_Turm_Quellenpark\C_Bearbeitung\C-Auswertung\Emission_v_korrektur.vls]Korrektur-v-FV$

Quelle: aus Ausbreitungsmessungen - S6 1. Baustufe

FRITZ GmbH, Bericht Nr. 97176-VME-1 und 97176-VME-2, August 2012

Schwingrichtung: vertikal (z)



Prognosespektrum





 $K: \label{lem:condition} K: \label{lem:condition} K: \label{lem:condition} Emission_v_korrektur. x is \label{lem:condition}. Turm_Quellen park \label{lem:condition} C-Auswertung \label{lem:condition} (Emission_v_korrektur. x is \label{lem:condition} GV = \label{lem:condition} (Emission_v_korrektur. x is \label{lem:condition} (Emission_v_korre$

					Para	Parameter					usga	ngs-	Spekt	trum	Α	P	rogn	ose-S	Spekt	trum	Р
K1		Betr	ieb		Zug	gattur	ng					G	iV					G	i۷		
K2					Ges	chwin	digk	eit				51 k	m/h					100 I	km/h		
K3		Fahr	weg		Kurv	/enbe	reich	1				ne	ein					ne	ein		
K4					Wei	chenb	erei	ch				n∈	ein					ne	ein		
K5					Obei	rbau				Sc	h0 m	it Be	tonsc	hwel	len	Sc	h0 m	it Be	tonsc	hwel	len
K6		Tunr	nel		Tuni	nelfor	m														
K7		Bau	werk		Wan	dstär	ke														
K8					Tuni	nelgr	ündu	ng													
K9					Bode	enver	hältr	nisse													
K10	_				Emi	ssions	spun	kt				8 m F	Punkt					8 m F	Punkt	t	
K11		Sons	stiges	;	Meß	verfa	hren					Max-	Hold					Max-	Hold		
K12	_																				
K13																					
K14																					
K15																					
Ausg	jang:	sspe	ktru	ım ir	n dB					Refe	renz:	v ₀ =5	*10 ⁻⁸	m/s							
f[Hz]	angsspektrum in dB 4 5 6,3 8 10 12,5 16 20						20	25	31,5	40	50	63	80	100	125	160	200	250	315	s	
A	51,1						68,7	78,2	75,5	68,6	64,5	60,4	56,5	50,4	43,1	37,4	34,4	32,2	30,4	81,8	
Berü	ıcksi	chti	gte k	orr	ektu	iren	in dl	3													
f[Hz]	4	5	6,3	8	10	12,5	16	20	25	31,5	40	50	63	80	100	125	160	200	250	315	
L _{K1}																					
L _{K2}	3,4	3,4	3,4	3,4	3,4	3,4	3,4	3,4	3,4	3,4	3,4	3,4	3,4	3,4	3,4	3,4	3,4	3,4	3,4	3,4	
L _{K3}																					
L _{K4}																					
L _{K5}																					
L _{K6}																					
L _{K7}																					
L _{K8}																					
L _{K9}																					
L _{K10}																					
L _{K11}																					
L _{K12}																					
L _{K13}																					
L _{K14}																					
L _{K15}																					
Prog	Prognosespektrum in dB								Refere	enz: v _o	=5*10 ⁻	8 m/s									
f[Hz]								25	31,5	40	50	63	80	100	125	160	200	250	315	S	
Р	54,5	66,6	70,3	68,5	69,6	65,9	74,6	72,2	81,7	78,9	72,0	68,0	63,8	60,0	53,8	46,5	40,8	37,8	35,7	33,9	85,2

Prognosespektrum Nahverkehr (RE/RB)



 $K:\B_Projekte\2011\8007_VMW_Quartier_am_Henninger_Turm_Quellenpark\C_Bearbeitung\C-Auswertung\Emission_v_korrektur.xls]\NV_140$

		Parameter								А	usga	ings-	Spekt	trum	Α	F	rogn	ose-S	Spekt	trum	Р
K1		Betr	ieb		Zugg	gattur	ng					_	IV						IV		
K2						hwin		eit				62 k	m/h					140 I	km/h		
K3		Fahr	weg		Kurv	/enbe	reich	1				ne	ein					ne	ein		
K4					Wei	chenb	erei	ch				ne	ein					ne	ein		
K5					Obei	⁻bau				Sc	h0 m	it Be	tonsc	hwel	len	Sc	h0 m	it Be	tonsc	hwel	len
K6		Tuni	nel		Tuni	nelfor	m														
K7		Bauv	werk		Wan	dstär	ke														
K8	_				Tuni	nelgr	ündu	ng													
K9					Bode	enver	hältr	nisse													
K10					Emi	ssion	spun	kt				8 m l	Punkt	İ				8 m F	Punkt	t	
K11	_	Sons	stiges	6	Meß	verfa	hren					Max-	-Hold					Max-	-Hold	ı	
K12																					
K13	<u> </u>																				
K14	_																				
K15																					
Ausg	gang	sspe	ktru	ım ir	n dB					Refe	renz:	v ₀ =5	*10 ⁻⁸	m/s							
f[Hz]	4	5	6,3	8	10	12,5	16	20	25	31,5	40	50	63	80	100	125	160	200	250	315	S
А	37,6	40,9	46,7	53,0	55,7	56,5	62,3	65,1	67,7	69,6	71,1	66,3	59,2	52,0	42,1	31,7	22,8	17,3	14,2	11,7	75,9
Berü	icksi	chtic	ate k	Corr	ektu	ren	in dl	3													
f[Hz]	4	5	6,3	8	10	12,5	16	20	25	31,5	40	50	63	80	100	125	160	200	250	315	
L _{K1}																					
L _{K2}	2,3	2,3	2,3	2,3	2,3	2,3	2,3	2,3	2,3	2,3	2,3	2,3	2,3	2,3	2,3	2,3	2,3	2,3	2,3	2,3	
L _{K3}																					
L _{K4}																					
L _{K5}																					
ı																					
L _{K6}																					
L _{K7}																					
L _{K8}																					
L _{K9}																					
L _{K10}																					
L _{K11}																					
L _{K12}																					
L _{K13}																					
L _{K14}																					
L _{K15}																					
Prog	nose	espe	ktru	ım ir	n dB					Refer	enz: v _o	₀ =5*10 ⁻	⁸ m/s								
f[Hz]	4 5 6,3 8 10 12,5 16 20						25	31,5	40	50	63	80	100	125	160	200	250	315	S		
Р	40,0	43,2	49,0	55,4	58,1	58,8	64,7	67,5	70,1	71,9	73,5	68,7	61,5	54,4	44,4	34,1	25,2	19,7	16,6	14,0	78,3

Prognosespektrum





 $K: \label{lem:condition} K: \label{lem:condition} K: \label{lem:condition} Emission_v_korrektur. x ls] FV and the leministic of the lemi$

					Parameter Zuggattung					А	usga	ngs-S	Spekt	rum	Α	Р	rogn	ose-S	Spekt	trum	Р
K1		Betr	ieb		Zugo	gattur	ng						V					F	V		
K2					Gesc	hwin	digk	eit				79 k	m/h					160 k	km/h		
K3		Fahr	weg		Kurv	enbe/	reich	1				ne	ein					ne	ein		
K4					Weig	henb	ereio	ch				ne	ein					ne	ein		
K5					Ober	bau				Sc	h0 m	it Bet	tonsc	hwel	len	Sc	h0 m	it Bet	tonsc	hwel	len
K6	_	Tunr	nel		Tunr	nelfor	m														
K7	_	Bau	werk		Wan	dstär	ke														
K8	_				Tunr	nelgri	ündu	ng													
K9	_				Bode	enver	hältr	nisse													
K10					Emis	ssions	spun	kt				8 m F	Punkt					8 m F	Punkt		
K11	_	Sons	stiges	;	Meß	verfa	hren					Max-	Hold					Max-	Hold		
K12	_																				
K13																					
K14	_																				
K15																					
Ausg	angs	sspe	ktru	m ir	n dB					Refe	renz:	v ₀ =5	*10 ⁻⁸	m/s							
f[Hz]						20	25	31,5	40	50	63	80	100	125	160	200	250	315	s		
Α	39,5 41,4 49,6 54,9 60,0 58,2 62,6 67,					67,8	66,1	68,6	75,1	65,7	55,8	49,1	39,9	30,6	22,9	17,8	15,9	13,0	77,6		
Berü	icksi	chtic	ate K	Corr	ektu	ren	in di	3													
f[Hz]	4	5	6,3	8	10	12,5	16	20	25	31,5	40	50	63	80	100	125	160	200	250	315	
L _{K1}																					
L _{K2}	3,2	3,2	3,2	3,2	3,2	3,2	3,2	3,2	3,2	3,2	3,2	3,2	3,2	3,2	3,2	3,2	3,2	3,2	3,2	3,2	
L _{K3}																					
L _{K4}																					
L _{K5}																					
L _{K6}																					
L _{K7}																					
L _{K8}																					
L _{K9}																					
L _{K10}																					
L _{K11}																					
L _{K12}																					
L _{K13}																					
L _{K14}																					
L _{K15}																					
Prog	Prognosespektrum in dB								Refer	enz: v _o	=5*10 ⁻	8 m/s									
f[Hz]							25	31,5	40	50	63	80	100	125	160	200	250	315	s		
Р	42,8	44,6	52,9	58,2	63,2	61,5	65,8	71,0	69,3	71,8	78,4	69,0	59,0	52,3	43,1	33,8	26,1	21,0	19,1	16,2	80,9

Prognosespektrum S-Bahn



K:\B_Projekte\2011\8007_VMW_Quartier_am_Henninger_Turm_Quellenpark\C_Bearbeitung\C-Auswertung\[Emission_v_korrektur.xls]S6

		Parameter							Δ	usga	ngs-	Spek [.]	trum	Α	F	rogn	ose-S	Spekt	trum	Р	
K1		Betr	ieb			gattur							S				- 3		3		
K2						chwin		eit				67 k	m/h					140 l	km/h		
K3		Fahr	weg			/enbe						ne	ein					ne	ein		
K4					Wei	chenb	erei	ch				ne	ein					ne	ein		
K5					Obei	⁻ bau				Sc	h0 m	it Be	tonsc	hwel	len	Sc	h0 m	it Bet	tonsc	hwel	len
K6		Tuni	nel		Tuni	nelfor	m														
K7	_	Bau	werk		Wan	dstär	ke														
K8					Tuni	nelgr	ündu	ng													
K9	_				Bode	enver	hältr	nisse													
K10					Emi	ssion	spun	kt				8 m l	Punkt	İ				8 m F	Punkt	i	
K11		Sons	stiges	6	Meß	verfa	hren					Max-	-Hold					Max-	Hold		
K12																					
K13																					
K14	_																				
K15																					
Ausg	jang:	sspe	ktru	ım ir	n dB					Refe	renz:	v ₀ =5	*10 ⁻⁸	m/s							
f[Hz]	4	5	6,3	8	10	12,5	16	20	25	31,5	40	50	63	80	100	125	160	200	250	315	S
А	38,3	40,3	46,7	53,8	56,7	56,7	60,7	63,2	65,0	69,1	68,2	60,5	54,5	49,7	41,2	30,5	21,3	16,6	14,2	12,6	73,8
Berü	ıcksi	chtic	ate k	orr	ektu	ren	in dl	3													
f[Hz]	4	5	6,3	8	10	12,5	16	20	25	31,5	40	50	63	80	100	125	160	200	250	315	
L _{K1}																					
L _{K2}	2,2	2,2	2,2	2,2	2,2	2,2	2,2	2,2	2,2	2,2	2,2	2,2	2,2	2,2	2,2	2,2	2,2	2,2	2,2	2,2	
L _{K3}													<u> </u>		<u> </u>				<u>'</u>		
L _{K4} L _{K5}																					
L _{K6}																				-	
L _{K7}																					
L _{K8}																					
L _{K9}																					
L _{K10}																					
L _{K11}																					
L _{K12}																					
L _{K13}																					
L _{K14}																					
L _{K15}																					
Prog	nose	espe	ktru	ım ir	n dB					Refer	enz: v _o	₌ 5*10	⁻⁸ m/s								
f[Hz]	4	5	6,3	8	10	12,5	16	20	25	31,5	40	50	63	80	100	125	160	200	250	315	S
Р	40,5	42,5	48,9	56,0	58,9	58,9	62,8	65,4	67,1	71,3	70,4	62,7	56,7	51,9	43,4	32,7	23,5	18,8	16,3	14,8	76,0

Übertragungsfunktionen ΔL_G

für Gebäude mit Betondecken



K·\R Proiekte\2017\8243 VSF DietmarRücher RadVilhel RPlan Krehssschen Zeilenhöhe 10,5 Schriftgröße 6

Quelle: Erschütterungen und sekundärer Luftschall, DB AG-Richtlinie 800.25ff

(Ausgabe: Entwurf 2016, RiL 820.2050, Seite 23-24)

Körperschall-Pegeldifferenz [dB]

zwischen Raum und Erdboden (vorm Gebäude)

f			C	Sebäude	übertrag	jungsfur	nktionen	Δ L _G , [dB	3]		
[Hz]	8 Hz	10 Hz	12,5 Hz	16 Hz	20 Hz	25 Hz	31,5 Hz	40 Hz	50 Hz	62,5 Hz	80 Hz
4	-0,5	-1,3	-1,5	-1,4	-1,4	-1,3	-1,3	-1,2	-1,6	-2,0	-2,5
5	1,4	-0,5	-1,3	-1,5	-1,2	-1,2	-1,1	-1,3	-1,2	-1,6	-2,0
6,3	6,9	1,4	-0,5	-1,3	-1,3	-1,0	-1,0	-1,1	-1,3	-1,2	-1,6
8	15,0	6,9	1,4	-0,5	-1,2	-1,1	-0,9	-1,0	-1,1	-1,3	-1,2
10	5,9	15,0	6,9	1,4	-0,4	-1,0	-0,9	-0,9	-1,0	-1,1	-1,3
12,5	0,2	5,9	15,0	6,9	1,2	-0,4	-0,9	-0,9	-0,9	-1,0	-1,1
16	-1,3	0,2	5,9	15,0	6,0	1,1	-0,3	-0,9	-0,9	-0,9	-1,0
20	-1,0	-1,3	0,2	5,9	13,1	5,2	0,9	-0,3	-0,9	-0,9	-0,9
25	-2,6	-1,0	-1,3	0,2	5,1	11,3	4,4	0,9	-0,3	-0,9	-0,9
31,5	-3,5	-2,6	-1,0	-1,3	0,2	4,4	9,5	4,4	0,9	-0,3	-0,9
40	-3,5	-3,5	-2,6	-1,0	-1,1	0,1	3,7	9,5	4,4	0,9	-0,3
50	-4,8	-3,5	-3,5	-2,6	-0,8	-1,0	0,1	3,7	9,5	4,4	0,9
63	-5,0	-4,8	-3,5	-3,5	-2,3	-0,7	-0,8	0,1	3,7	9,5	4,4
80	-5,0	-5,0	-4,8	-3,5	-3,1	-1,9	-0,6	-0,8	0,1	3,7	9,5
100	-5,0	-5,0	-5,0	-4,8	-3,5	-2,3	-0,7	-0,7	-0,8	0,1	3,7
125	-5,0	-5,0	-5,0	-5,0	-4,8	-3,1	-1,9	-1,9	-0,7	-0,8	0,1
160	-5,0	-5,0	-5,0	-5,0	-5,0	-3,5	-2,3	-2,3	-1,9	-0,7	-0,8
200	-5,0	-5,0	-5,0	-5,0	-5,0	-4,8	-3,1	-3,1	-2,3	-1,9	-0,7
250	-5,0	-5,0	-5,0	-5,0	-5,0	-5,0	-3,5	-3,5	-3,1	-2,3	-1,9
315	-5,0	-5,0	-5,0	-5,0	-5,0	-5,0	-4,8	-4,8	-3,5	-3,1	-2,3

Übertragungsfunktionen ΔL_G

für Gebäude mit Betondecken



K·\R Proiekte\2017\8243 VSF DietmarRücher BadVilhel BPlan Krehsss Zeilenhöhe 10,5 Schriftgröße 6

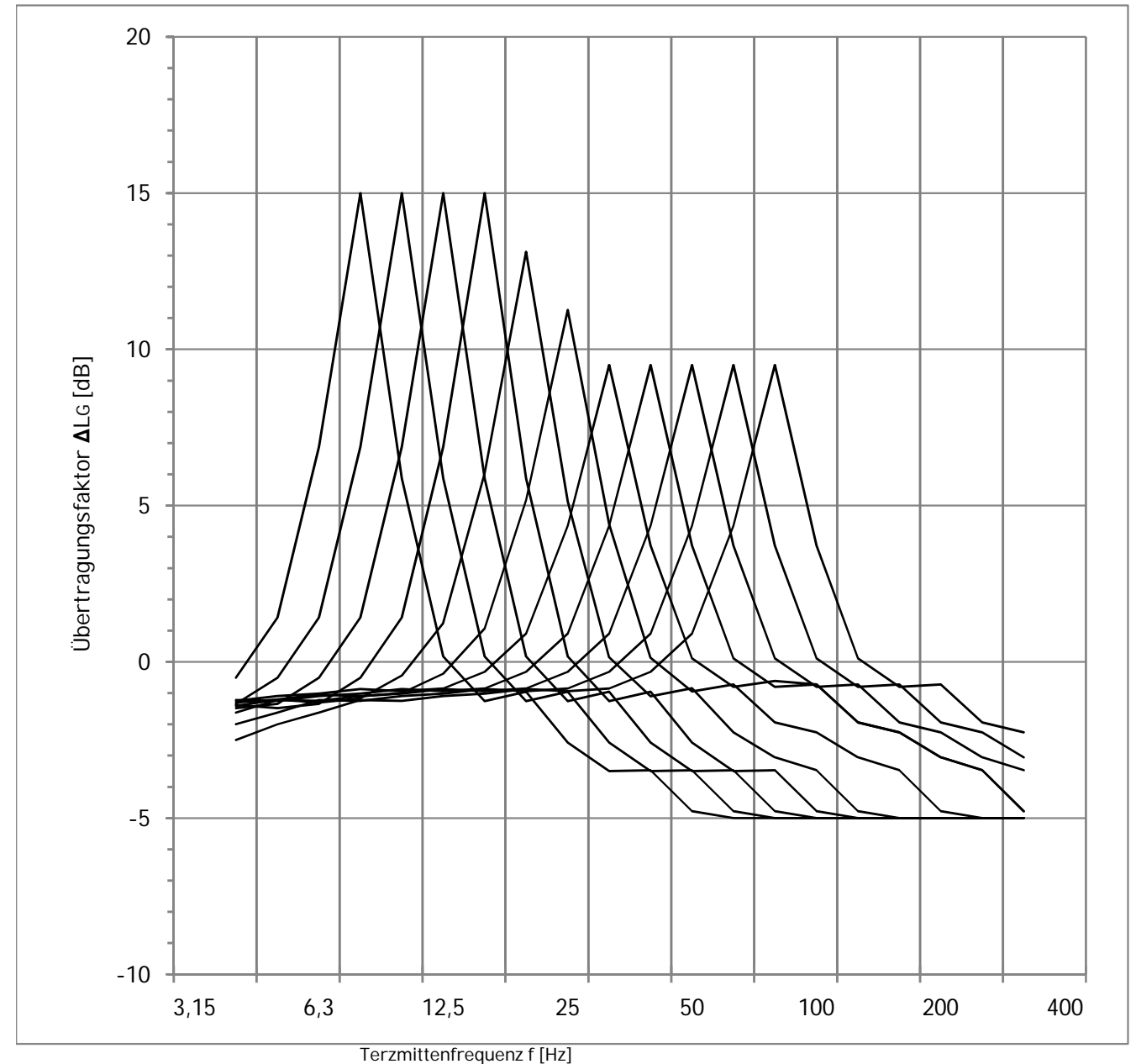
Quelle: Erschütterungen und sekundärer Luftschall, DB AG-Richtlinie 800.25ff

(Ausgabe: Entwurf 2016, RiL 820.2050, Seite 23-24)

Körperschall-Pegeldifferenz [dB]

zwischen Raum und Erdboden (vorm Gebäude)

Resonanzfrequenz: 8 Hz bis 80 Hz Schwingrichtung: vertikal (z)



Einwirkungsmatrix PPF

Tagzeitraum



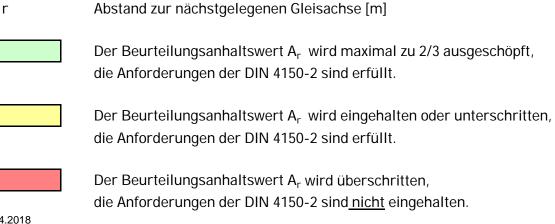
K:\B Projekte\2017\8243 VSE DietmarBücher BadVilbel BPlan Krebssschere\C Bearbeitung\D-Prognose\[20178243-PPF2025.xls]|P

Strecke: 3900/3864 Gebietsnutzung: Wohngebiet Abstand der Bebaung ab: Ort: BP Krebsschere

61118 Bad Vilbel

Beurteilungsschwingstärken KB_{FTr} mit dem Faktor 100 multipliziert in Abhängigkeit des maßgeblichen Gleisabstandes und Deckeneigenfrequenzen von Gebäuden.

Abstand r				Decke	eneigenfr	equenze	n [Hz]			
[m]	10	12,5	16	20	25	31,5	40	50	63	80
10	13,4	13,3	20,1	19,2	24,2	18,8	16,6	12,9	10,6	9,6
12	11,5	11,2	16,8	15,4	19,0	14,2	12,4	9,7	8,1	7,5
14	10,3	9,8	14,4	12,9	15,4	11,3	9,7	7,7	6,6	6,1
16	9,3	8,7	12,7	11,1	12,9	9,3	7,9	6,4	5,2	4,9
18	8,6	7,9	11,3	9,7	11,1	7,9	6,6	5,4	4,5	4,2
20	8,0	7,3	10,2	8,6	9,6	6,8	5,7	4,4	3,9	3,3
22	7,5	6,8	9,3	7,7	8,5	5,9	4,6	3,9	3,0	2,9
24	7,1	6,3	8,6	7,0	7,6	5,0	4,1	2,9	2,7	2,6
26	6,7	6,0	7,9	6,4	6,9	4,4	3,1	2,7	2,5	2,4
28	6,1	5,6	7,4	5,9	6,0	3,6	2,9	2,4	2,3	2,3
30	5,8	5,4	6,9	5,5	5,5	3,3	2,6	2,3	2,2	2,1
35	5,0	4,4	6,0	4,3	4,1	2,7	2,2	2,0	1,9	1,9
40	4,6	3,6	5,0	3,2	3,5	2,3	1,9	1,8	1,7	1,7
45	4,3	3,4	4,1	2,9	3,0	2,1	1,7	1,6	1,6	1,5
50	4,0	3,1	3,7	2,5	2,7	1,8	1,6	1,5	1,1	1,1
55	3,8	2,9	3,3	2,2	2,4	1,7	1,2	1,1	0,0	0,0
60	3,6	2,6	3,1	2,1	2,2	1,6	0,0	0,0	0,0	0,0
65	3,4	2,5	2,9	1,9	2,0	1,1	0,0	0,0	0,0	0,0
70	3,2	2,4	2,7	1,8	1,8	0,0	0,0	0,0	0,0	0,0
75	3,0	2,3	2,5	1,7	1,7	0,0	0,0	0,0	0,0	0,0
80	2,9	2,2	2,4	1,6	1,6	0,0	0,0	0,0	0,0	0,0
85	2,8	2,1	2,3	1,5	1,5	0,0	0,0	0,0	0,0	0,0
90	2,7	2,0	2,2	1,1	1,1	0,0	0,0	0,0	0,0	0,0
95	2,6	2,0	2,1	0,0	0,0	0,0	0,0	0,0	0,0	0,0
100	2,6	1,9	2,0	0,0	0,0	0,0	0,0	0,0	0,0	0,0



Einwirkungsmatrix PPF

Nachtzeitraum



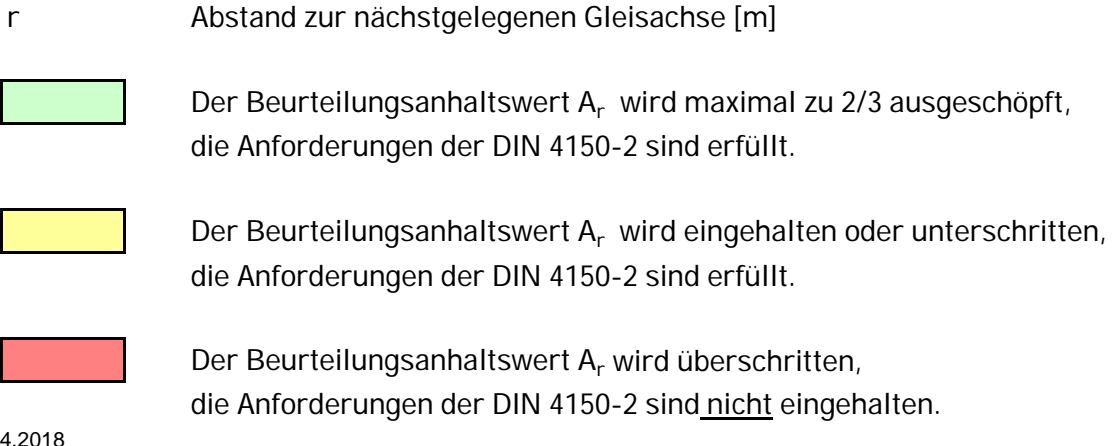
K:\B Projekte\2017\8243 VSE DietmarBücher BadVilbel BPlan Krebssschere\C Bearbeitung\D-Prognose\[20178243-PPF2025.xls]|P

Strecke: 3900/3864 Gebietsnutzung: Wohngebiet
Ort: BP Krebsschere Abstand der Bebaung ab: - m

61118 Bad Vilbel

Beurteilungsschwingstärken KB_{FTr} mit dem Faktor 100 multipliziert in Abhängigkeit des maßgeblichen Gleisabstandes und Deckeneigenfrequenzen von Gebäuden.

Abstand r				Decke	eneigenfr	equenze	n [Hz]			
[m]	10	12,5	16	20	25	31,5	40	50	63	80
10	18,2	16,9	26,6	23,4	33,0	23,1	17,0	13,7	12,2	11,6
12	15,9	14,4	22,3	18,9	26,0	17,8	13,0	10,7	9,7	9,2
14	14,2	12,6	19,3	15,8	21,2	14,3	10,5	8,8	8,0	7,7
16	13,0	11,3	17,0	13,6	17,9	11,9	8,8	7,4	6,8	6,6
18	12,0	10,3	15,2	11,9	15,4	10,1	7,5	6,4	6,0	5,8
20	11,2	9,5	13,8	10,6	13,4	8,8	6,6	5,7	5,3	5,1
22	10,5	8,9	12,6	9,5	11,9	7,8	5,8	5,1	4,8	4,6
24	10,0	8,3	11,6	8,7	10,6	6,9	5,3	4,6	4,4	4,2
26	9,5	7,8	10,8	8,0	9,6	6,2	4,8	4,2	4,0	3,9
28	9,0	7,4	10,1	7,4	8,7	5,6	4,4	3,9	3,8	3,7
30	8,6	7,0	9,5	6,8	8,0	5,2	4,1	3,7	3,5	3,5
35	7,8	6,3	8,2	5,8	6,6	4,3	3,5	3,2	3,1	3,0
40	7,2	5,7	7,2	5,0	5,6	3,8	3,1	2,9	2,8	2,7
45	6,7	5,2	6,5	4,4	4,9	3,3	2,8	2,6	2,6	2,5
50	6,3	4,9	5,9	4,0	4,3	3,0	2,6	2,4	1,7	1,7
55	6,0	4,6	5,4	3,6	3,9	2,7	1,7	1,6	0,0	0,0
60	5,7	4,3	5,0	3,3	3,5	2,5	0,0	0,0	0,0	0,0
65	5,4	4,1	4,6	3,1	3,2	1,7	0,0	0,0	0,0	0,0
70	5,2	3,9	4,3	2,9	3,0	0,0	0,0	0,0	0,0	0,0
75	4,9	3,7	4,1	2,7	2,8	0,0	0,0	0,0	0,0	0,0
80	4,8	3,6	3,9	2,6	2,6	0,0	0,0	0,0	0,0	0,0
85	4,6	3,4	3,7	2,4	2,5	0,0	0,0	0,0	0,0	0,0
90	4,4	3,3	3,5	1,7	1,7	0,0	0,0	0,0	0,0	0,0
95	4,3	3,2	3,3	0,0	0,0	0,0	0,0	0,0	0,0	0,0
100	4,2	3,1	3,2	0,0	0,0	0,0	0,0	0,0	0,0	0,0



17.04.2018

Einwirkungsmatrix PPF

Tagzeitraum



K:\B Projekte\2017\8243 VSE DietmarBücher BadVilbel BPlan Krebssschere\C Bearbeitung\D-Prognose\[20178243-PPF2025.xls]|P

Strecke: 3900/3864 Gebietsnutzung: Wohngebiet
Ort: BP Krebsschere Abstand der Bebaung ab: - m

61118 Bad Vilbel

Abstand r				Decke	eneigenfr	equenze	n [Hz]			
[m]	10	12,5	16	20	25	31,5	40	50	63	80
10	23,4	23,8	24,5	25,6	27,5	28,0	28,5	28,4	27,9	27,4
12	21,9	22,3	23,1	24,2	26,1	26,5	26,9	26,7	26,3	25,9
14	20,6	21,0	21,8	23,0	25,0	25,2	25,5	25,3	24,9	24,6
16	19,5	19,9	20,8	21,9	23,9	24,0	24,3	24,1	23,7	23,5
18	18,5	18,9	19,9	21,0	23,0	23,0	23,3	23,0	22,7	22,5
20	17,6	18,1	19,1	20,2	22,3	22,2	22,4	22,1	21,8	21,6
22	16,8	17,3	18,3	19,5	21,5	21,4	21,5	21,2	20,9	20,8
24	16,1	16,6	17,6	18,8	20,9	20,6	20,7	20,4	20,2	20,1
26	15,5	15,9	17,0	18,2	20,3	20,0	20,0	19,7	19,5	19,4
28	14,9	15,3	16,5	17,7	19,7	19,3	19,3	19,0	18,8	18,8
30	14,3	14,8	16,0	17,2	19,2	18,7	18,7	18,4	18,2	18,2
35	13,1	13,6	14,9	16,0	18,0	17,4	17,3	17,0	16,8	16,9
40	12,0	12,5	13,9	15,1	17,0	16,3	16,1	15,7	15,6	15,8
45	11,1	11,6	13,1	14,2	16,1	15,3	15,1	14,7	14,6	14,8
50	10,2	10,8	12,4	13,5	15,4	14,5	14,1	13,7	13,7	13,9
55	9,5	10,1	11,7	12,8	14,6	13,7	13,3	12,9	12,8	13,1
60	8,8	9,5	11,2	12,2	14,0	12,9	12,5	12,1	12,1	12,3
65	8,2	8,9	10,6	11,6	13,4	12,3	11,8	11,4	11,4	11,7
70	7,7	8,4	10,2	11,1	12,8	11,6	11,1	10,7	10,7	11,0
75	7,2	7,9	9,8	10,6	12,3	11,1	10,6	10,1	10,1	10,5
80	6,7	7,5	9,3	10,2	11,8	10,5	10,0	9,5	9,6	9,9
85	6,3	7,1	8,9	9,7	11,4	10,0	9,4	9,0	9,0	9,4
90	5,9	6,7	8,6	9,3	11,0	9,5	8,9	8,5	8,5	8,9
95	5,5	6,3	8,2	9,0	10,6	9,1	8,4	8,0	8,1	8,5
100	5,1	6,0	7,9	8,6	10,2	8,7	8,0	7,5	7,6	8,1

r	Abstand zur nächstgelegenen Gleisachse [m]
	Der Immissionsrichtwert für den Tag wird unterschritten, die Anforderungen der 24. BImSchV sind erfüllt.
	Der Immissionsrichtwert für den Tag wird überschritten, die Anforderungen der 24. BImSchV <u>nicht</u> sind erfüllt.
IRW	40 dB(A)

Einwirkungsmatrix PPF

Nachtzeitraum



K:\B Projekte\2017\8243 VSE DietmarBücher BadVilbel BPlan Krebssschere\C Bearbeitung\D-Prognose\[20178243-PPF2025.xls]IP

Strecke: 3900/3864 Gebietsnutzung: Wohngebiet
Ort: BP Krebsschere Abstand der Bebaung ab: - m

61118 Bad Vilbel

Abstand r				Decke	eneigenfr	equenze	n [Hz]			
[m]	10	12,5	16	20	25	31,5	40	50	63	80
10	25,2	25,6	26,3	27,6	30,0	30,0	29,6	29,5	29,4	29,3
12	23,7	24,2	24,9	26,3	28,7	28,5	28,0	27,8	27,8	27,9
14	22,5	22,9	23,8	25,1	27,6	27,3	26,7	26,5	26,5	26,6
16	21,4	21,9	22,8	24,1	26,6	26,2	25,5	25,3	25,4	25,5
18	21,2	21,6	22,5	23,9	26,3	25,9	25,2	25,0	25,1	25,2
20	19,7	20,1	21,2	22,5	25,0	24,4	23,6	23,3	23,5	23,7
22	18,9	19,4	20,5	21,8	24,3	23,6	22,7	22,5	22,6	22,9
24	18,3	18,7	19,9	21,2	23,6	22,9	22,0	21,7	21,9	22,2
26	17,6	18,1	19,3	20,6	23,1	22,2	21,3	21,0	21,2	21,5
28	17,1	17,5	18,8	20,0	22,5	21,6	20,6	20,3	20,5	20,9
30	16,5	17,0	18,3	19,5	22,0	21,0	20,0	19,7	19,9	20,3
35	15,3	15,8	17,3	18,4	20,9	19,8	18,7	18,4	18,6	19,1
40	14,3	14,8	16,4	17,5	19,9	18,7	17,5	17,2	17,5	17,9
45	13,4	13,9	15,6	16,6	19,0	17,7	16,5	16,2	16,4	17,0
50	12,6	13,2	14,9	15,9	18,3	16,8	15,6	15,2	15,5	16,1
55	11,9	12,5	14,3	15,2	17,6	16,0	14,8	14,4	14,7	15,3
60	11,3	11,9	13,7	14,6	16,9	15,3	14,1	13,6	13,9	14,6
65	10,7	11,3	13,2	14,0	16,3	14,7	13,4	12,9	13,3	13,9
70	10,2	10,8	12,8	13,5	15,8	14,1	12,7	12,3	12,6	13,3
75	9,7	10,3	12,3	13,0	15,3	13,5	12,2	11,7	12,0	12,7
80	9,2	9,9	11,9	12,6	14,8	13,0	11,6	11,1	11,5	12,2
85	8,8	9,5	11,6	12,2	14,4	12,5	11,1	10,6	11,0	11,7
90	8,4	9,1	11,2	11,8	13,9	12,0	10,6	10,1	10,5	11,2
95	8,0	8,8	10,9	11,4	13,5	11,6	10,1	9,7	10,0	10,8
100	7,7	8,4	10,6	11,0	13,2	11,1	9,7	9,2	9,6	10,3

r	Abstand zur nächstgelegenen Gleisachse [m]
	Der Immissionsrichtwert für die Nacht wird unterschritten, die Anforderungen der 24. BImSchV sind erfüllt.
	Der Immissionsrichtwert für die Nacht wird überschritten, die Anforderungen der 24. BImSchV <u>nicht</u> sind erfüllt.
IRW	30 dB(A)

Einwirkungsmatrix PPF

Tagzeitraum



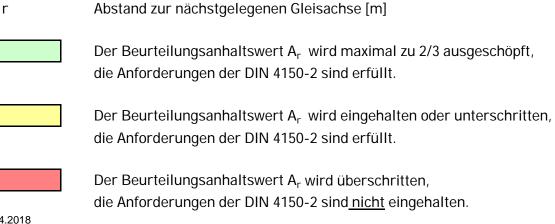
K:\B Projekte\2017\8243 VSE DietmarBücher BadVilbel BPlan Krebssschere\C Bearbeitung\D-Prognose\[20178243-PPF2025.xls]6.4

Strecke: 3900/3864 Gebietsnutzung: Mischgebiet Abstand der Bebaung ab: Ort: BP Krebsschere

61118 Bad Vilbel

Beurteilungsschwingstärken KB_{FTr} mit dem Faktor 100 multipliziert in Abhängigkeit des maßgeblichen Gleisabstandes und Deckeneigenfrequenzen von Gebäuden.

Abstand r				Decke	eneigenfr	equenze	n [Hz]			
[m]	10	12,5	16	20	25	31,5	40	50	63	80
10	13,4	13,3	20,1	19,2	24,2	18,8	16,6	12,9	10,6	9,6
12	11,5	11,2	16,8	15,4	19,0	14,2	12,4	9,7	8,1	7,5
14	10,3	9,8	14,4	12,9	15,4	11,3	9,7	7,7	6,6	6,1
16	9,3	8,7	12,7	11,1	12,9	9,3	7,9	6,4	5,2	4,9
18	8,6	7,9	11,3	9,7	11,1	7,9	6,6	5,4	4,5	4,2
20	8,0	7,3	10,2	8,6	9,6	6,8	5,7	4,4	3,9	3,3
22	7,5	6,8	9,3	7,7	8,5	5,9	4,6	3,9	3,0	2,9
24	7,1	6,3	8,6	7,0	7,6	5,0	4,1	2,9	2,7	2,6
26	6,7	6,0	7,9	6,4	6,9	4,4	3,1	2,7	2,5	2,4
28	6,1	5,6	7,4	5,9	6,0	3,6	2,9	2,4	2,3	2,3
30	5,8	5,4	6,9	5,5	5,5	3,3	2,6	2,3	2,2	2,1
35	5,0	4,4	6,0	4,3	4,1	2,7	2,2	2,0	1,9	1,9
40	4,6	3,6	5,0	3,2	3,5	2,3	1,9	1,8	1,7	1,7
45	4,3	3,4	4,1	2,9	3,0	2,1	1,7	1,6	1,6	1,5
50	4,0	3,1	3,7	2,5	2,7	1,8	1,6	1,5	1,1	1,1
55	3,8	2,9	3,3	2,2	2,4	1,7	1,2	1,1	0,0	0,0
60	3,6	2,6	3,1	2,1	2,2	1,6	0,0	0,0	0,0	0,0
65	3,4	2,5	2,9	1,9	2,0	1,1	0,0	0,0	0,0	0,0
70	3,2	2,4	2,7	1,8	1,8	0,0	0,0	0,0	0,0	0,0
75	3,0	2,3	2,5	1,7	1,7	0,0	0,0	0,0	0,0	0,0
80	2,9	2,2	2,4	1,6	1,6	0,0	0,0	0,0	0,0	0,0
85	2,8	2,1	2,3	1,5	1,5	0,0	0,0	0,0	0,0	0,0
90	2,7	2,0	2,2	1,1	1,1	0,0	0,0	0,0	0,0	0,0
95	2,6	2,0	2,1	0,0	0,0	0,0	0,0	0,0	0,0	0,0
100	2,6	1,9	2,0	0,0	0,0	0,0	0,0	0,0	0,0	0,0



Einwirkungsmatrix PPF

Nachtzeitraum



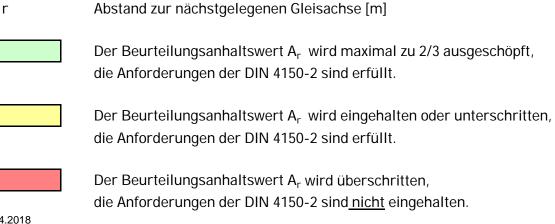
K:\B Projekte\2017\8243 VSE DietmarBücher BadVilbel BPlan Krebssschere\C Bearbeitung\D-Prognose\[20178243-PPF2025.xls]6.4

Strecke: 3900/3864 Gebietsnutzung: Mischgebiet Abstand der Bebaung ab: Ort: BP Krebsschere

61118 Bad Vilbel

Beurteilungsschwingstärken KB_{FTr} mit dem Faktor 100 multipliziert in Abhängigkeit des maßgeblichen Gleisabstandes und Deckeneigenfrequenzen von Gebäuden.

Abstand r				Decke	eneigenfr	equenze	n [Hz]			
[m]	10	12,5	16	20	25	31,5	40	50	63	80
10	18,2	16,9	26,6	23,4	33,0	23,1	17,0	13,7	12,2	11,6
12	15,9	14,4	22,3	18,9	26,0	17,8	13,0	10,7	9,7	9,2
14	14,2	12,6	19,3	15,8	21,2	14,3	10,5	8,8	8,0	7,7
16	13,0	11,3	17,0	13,6	17,9	11,9	8,8	7,4	6,8	6,6
18	12,0	10,3	15,2	11,9	15,4	10,1	7,5	6,4	6,0	5,8
20	11,2	9,5	13,8	10,6	13,4	8,8	6,6	5,7	5,3	5,1
22	10,5	8,9	12,6	9,5	11,9	7,8	5,8	5,1	4,8	4,6
24	10,0	8,3	11,6	8,7	10,6	6,9	5,3	4,6	4,4	4,2
26	9,5	7,8	10,8	8,0	9,6	6,2	4,8	4,2	4,0	3,9
28	9,0	7,4	10,1	7,4	8,7	5,6	4,4	3,9	3,8	3,7
30	8,6	7,0	9,5	6,8	8,0	5,2	4,1	3,7	3,5	3,5
35	7,8	6,3	8,2	5,8	6,6	4,3	3,5	3,2	3,1	3,0
40	7,2	5,7	7,2	5,0	5,6	3,8	3,1	2,9	2,8	2,7
45	6,7	5,2	6,5	4,4	4,9	3,3	2,8	2,6	2,6	2,5
50	6,3	4,9	5,9	4,0	4,3	3,0	2,6	2,4	1,7	1,7
55	6,0	4,6	5,4	3,6	3,9	2,7	1,7	1,6	0,0	0,0
60	5,7	4,3	5,0	3,3	3,5	2,5	0,0	0,0	0,0	0,0
65	5,4	4,1	4,6	3,1	3,2	1,7	0,0	0,0	0,0	0,0
70	5,2	3,9	4,3	2,9	3,0	0,0	0,0	0,0	0,0	0,0
75	4,9	3,7	4,1	2,7	2,8	0,0	0,0	0,0	0,0	0,0
80	4,8	3,6	3,9	2,6	2,6	0,0	0,0	0,0	0,0	0,0
85	4,6	3,4	3,7	2,4	2,5	0,0	0,0	0,0	0,0	0,0
90	4,4	3,3	3,5	1,7	1,7	0,0	0,0	0,0	0,0	0,0
95	4,3	3,2	3,3	0,0	0,0	0,0	0,0	0,0	0,0	0,0
100	4,2	3,1	3,2	0,0	0,0	0,0	0,0	0,0	0,0	0,0



17.04.2018

Einwirkungsmatrix PPF

Tagzeitraum



K:\B Projekte\2017\8243 VSE DietmarBücher BadVilbel BPlan Krebssschere\C Bearbeitung\D-Prognose\[[20178243-PPF2025.xls]6.4

Strecke: 3900/3864 Gebietsnutzung: Mischgebiet
Ort: BP Krebsschere Abstand der Bebaung ab: - m

61118 Bad Vilbel

Abstand r				Decke	eneigenfr	equenze	n [Hz]			
[m]	10	12,5	16	20	25	31,5	40	50	63	80
10	23,4	23,8	24,5	25,6	27,5	28,0	28,5	28,4	27,9	27,4
12	21,9	22,3	23,1	24,2	26,1	26,5	26,9	26,7	26,3	25,9
14	20,6	21,0	21,8	23,0	25,0	25,2	25,5	25,3	24,9	24,6
16	19,5	19,9	20,8	21,9	23,9	24,0	24,3	24,1	23,7	23,5
18	18,5	18,9	19,9	21,0	23,0	23,0	23,3	23,0	22,7	22,5
20	17,6	18,1	19,1	20,2	22,3	22,2	22,4	22,1	21,8	21,6
22	16,8	17,3	18,3	19,5	21,5	21,4	21,5	21,2	20,9	20,8
24	16,1	16,6	17,6	18,8	20,9	20,6	20,7	20,4	20,2	20,1
26	15,5	15,9	17,0	18,2	20,3	20,0	20,0	19,7	19,5	19,4
28	14,9	15,3	16,5	17,7	19,7	19,3	19,3	19,0	18,8	18,8
30	14,3	14,8	16,0	17,2	19,2	18,7	18,7	18,4	18,2	18,2
35	13,1	13,6	14,9	16,0	18,0	17,4	17,3	17,0	16,8	16,9
40	12,0	12,5	13,9	15,1	17,0	16,3	16,1	15,7	15,6	15,8
45	11,1	11,6	13,1	14,2	16,1	15,3	15,1	14,7	14,6	14,8
50	10,2	10,8	12,4	13,5	15,4	14,5	14,1	13,7	13,7	13,9
55	9,5	10,1	11,7	12,8	14,6	13,7	13,3	12,9	12,8	13,1
60	8,8	9,5	11,2	12,2	14,0	12,9	12,5	12,1	12,1	12,3
65	8,2	8,9	10,6	11,6	13,4	12,3	11,8	11,4	11,4	11,7
70	7,7	8,4	10,2	11,1	12,8	11,6	11,1	10,7	10,7	11,0
75	7,2	7,9	9,8	10,6	12,3	11,1	10,6	10,1	10,1	10,5
80	6,7	7,5	9,3	10,2	11,8	10,5	10,0	9,5	9,6	9,9
85	6,3	7,1	8,9	9,7	11,4	10,0	9,4	9,0	9,0	9,4
90	5,9	6,7	8,6	9,3	11,0	9,5	8,9	8,5	8,5	8,9
95	5,5	6,3	8,2	9,0	10,6	9,1	8,4	8,0	8,1	8,5
100	5,1	6,0	7,9	8,6	10,2	8,7	8,0	7,5	7,6	8,1

r	Abstand zur nächstgelegenen Gleisachse [m]
	Der Immissionsrichtwert für den Tag wird unterschritten, die Anforderungen der 24. BImSchV sind erfüllt.
	Der Immissionsrichtwert für den Tag wird überschritten, die Anforderungen der 24. BImSchV <u>nicht</u> sind erfüllt.
IRW	40 dB(A)

Einwirkungsmatrix PPF

Nachtzeitraum



K:\B Projekte\2017\8243 VSE DietmarBücher BadVilbel BPlan Krebssschere\C Bearbeitung\D-Prognose\[20178243-PPF2025.x|s]6.4

Strecke: 3900/3864 Gebietsnutzung: Mischgebiet
Ort: BP Krebsschere Abstand der Bebaung ab: - m

61118 Bad Vilbel

Abstand r				Decke	eneigenfr	equenze	n [Hz]			
[m]	10	12,5	16	20	25	31,5	40	50	63	80
10	25,2	25,6	26,3	27,6	30,0	30,0	29,6	29,5	29,4	29,3
12	23,7	24,2	24,9	26,3	28,7	28,5	28,0	27,8	27,8	27,9
14	22,5	22,9	23,8	25,1	27,6	27,3	26,7	26,5	26,5	26,6
16	21,4	21,9	22,8	24,1	26,6	26,2	25,5	25,3	25,4	25,5
18	21,2	21,6	22,5	23,9	26,3	25,9	25,2	25,0	25,1	25,2
20	19,7	20,1	21,2	22,5	25,0	24,4	23,6	23,3	23,5	23,7
22	18,9	19,4	20,5	21,8	24,3	23,6	22,7	22,5	22,6	22,9
24	18,3	18,7	19,9	21,2	23,6	22,9	22,0	21,7	21,9	22,2
26	17,6	18,1	19,3	20,6	23,1	22,2	21,3	21,0	21,2	21,5
28	17,1	17,5	18,8	20,0	22,5	21,6	20,6	20,3	20,5	20,9
30	16,5	17,0	18,3	19,5	22,0	21,0	20,0	19,7	19,9	20,3
35	15,3	15,8	17,3	18,4	20,9	19,8	18,7	18,4	18,6	19,1
40	14,3	14,8	16,4	17,5	19,9	18,7	17,5	17,2	17,5	17,9
45	13,4	13,9	15,6	16,6	19,0	17,7	16,5	16,2	16,4	17,0
50	12,6	13,2	14,9	15,9	18,3	16,8	15,6	15,2	15,5	16,1
55	11,9	12,5	14,3	15,2	17,6	16,0	14,8	14,4	14,7	15,3
60	11,3	11,9	13,7	14,6	16,9	15,3	14,1	13,6	13,9	14,6
65	10,7	11,3	13,2	14,0	16,3	14,7	13,4	12,9	13,3	13,9
70	10,2	10,8	12,8	13,5	15,8	14,1	12,7	12,3	12,6	13,3
75	9,7	10,3	12,3	13,0	15,3	13,5	12,2	11,7	12,0	12,7
80	9,2	9,9	11,9	12,6	14,8	13,0	11,6	11,1	11,5	12,2
85	8,8	9,5	11,6	12,2	14,4	12,5	11,1	10,6	11,0	11,7
90	8,4	9,1	11,2	11,8	13,9	12,0	10,6	10,1	10,5	11,2
95	8,0	8,8	10,9	11,4	13,5	11,6	10,1	9,7	10,0	10,8
100	7,7	8,4	10,6	11,0	13,2	11,1	9,7	9,2	9,6	10,3

r	Abstand zur nächstgelegenen Gleisachse [m]
	Der Immissionsrichtwert für die Nacht wird unterschritten, die Anforderungen der 24. BImSchV sind erfüllt.
	Der Immissionsrichtwert für die Nacht wird überschritten, die Anforderungen der 24. BImSchV <u>nicht</u> sind erfüllt.
IRW	30 dB(A)